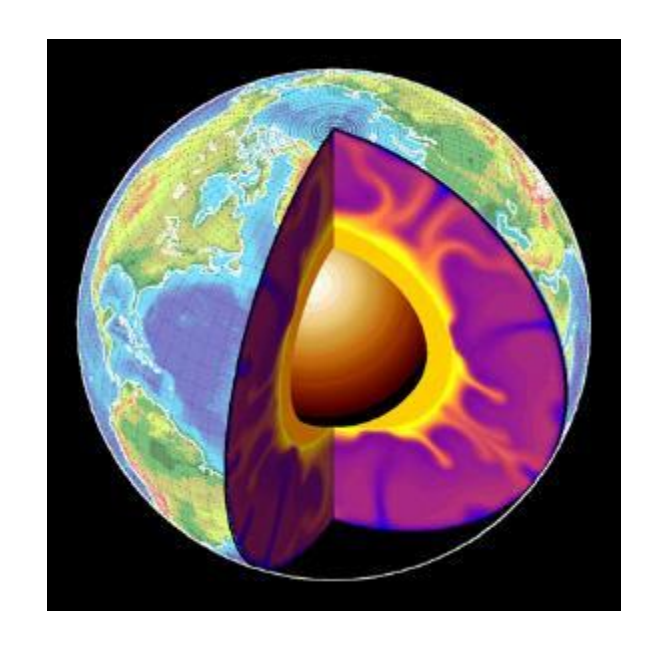
L1 Système Terre - Cours 2 : Structure de la Terre

I. La forme de la Terre (géométrie dans l'espace)



- II. Sa masse (physique)
- II. Sa structure interne (sismologie)





Rappels historiques: les grandes étapes de l'antiquité

• 600 avant JC Thalès:

• la Lune est illuminée par le Soleil

• 550 avant JC Pythagore:

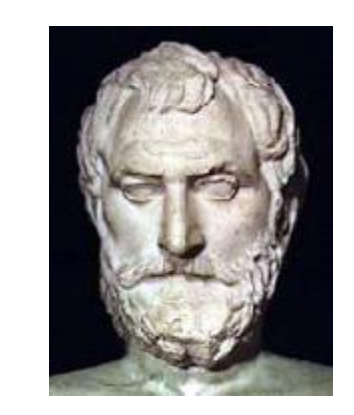
• Terre, Soleil, Lune sont des sphères

• 350 avant JC Aristote:

• le Soleil est plus loin que la Lune (éclipse)

• la Terre est sphérique (coques des bateaux disparaissant en premier; variation du champ des étoiles avec la latitude, etc...)

















Rappels historiques: les grandes étapes de l'antiquité

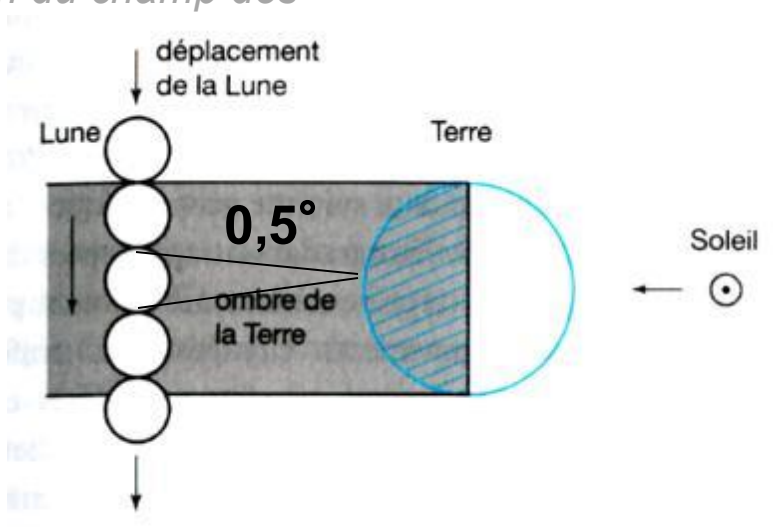
- 600 avant JC Thalès:
 - la Lune est illuminée par le Soleil
- 550 avant JC Pythagore:
 - Terre, Soleil, Lune sont des sphères
- 350 avant JC Aristote:
 - le Soleil est plus loin que la Lune (éclipse)
 - la Terre est sphérique (coques des bateaux disparaissant en premier; variation du champ des

étoiles avec la latitude, etc...)

Détermination de la distance Terre-Lune:

$$3.5 R_{Lune} = R_{Terre}$$

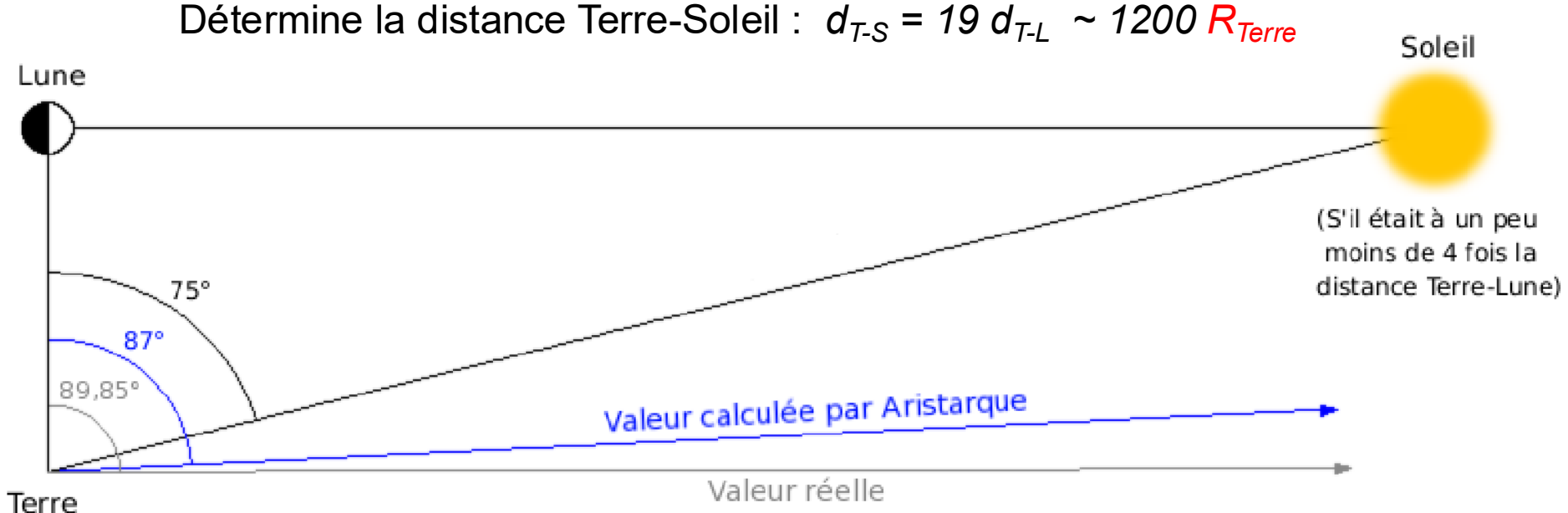
Puis
$$d_{T-L} = 60 R_{Terre}$$





Rappels historiques: les grandes étapes de l'antiquité

• 300 avant JC Aristarque:



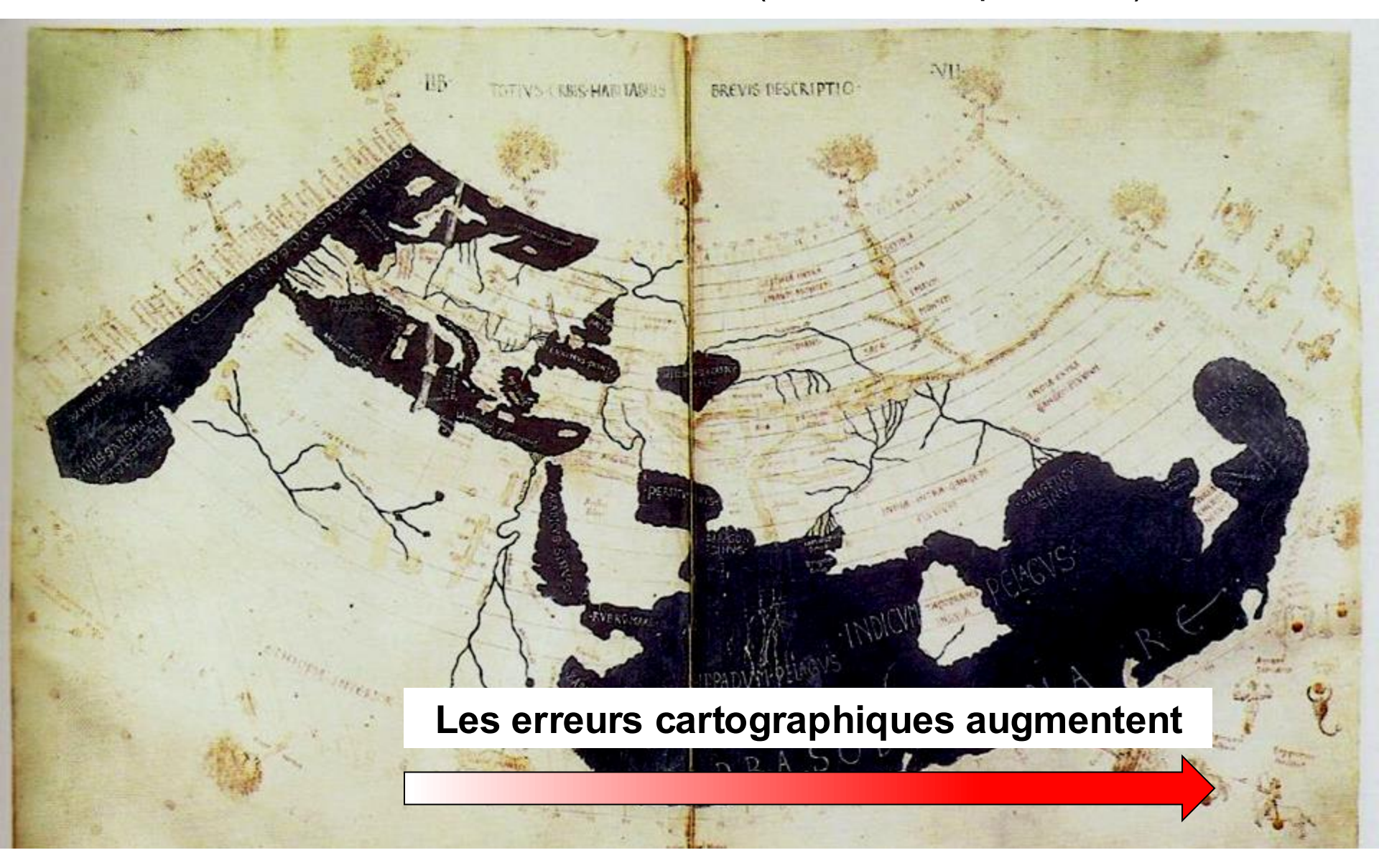
en réalité $d_{T-S} \sim 24000 R_{Terre}$ (l'angle $\alpha \sim 90^\circ$ est difficile à mesurer)

- => Donc Soleil plus bien gros que la Terre
- => La Terre tourne autour du Soleil (héliocentrisme)

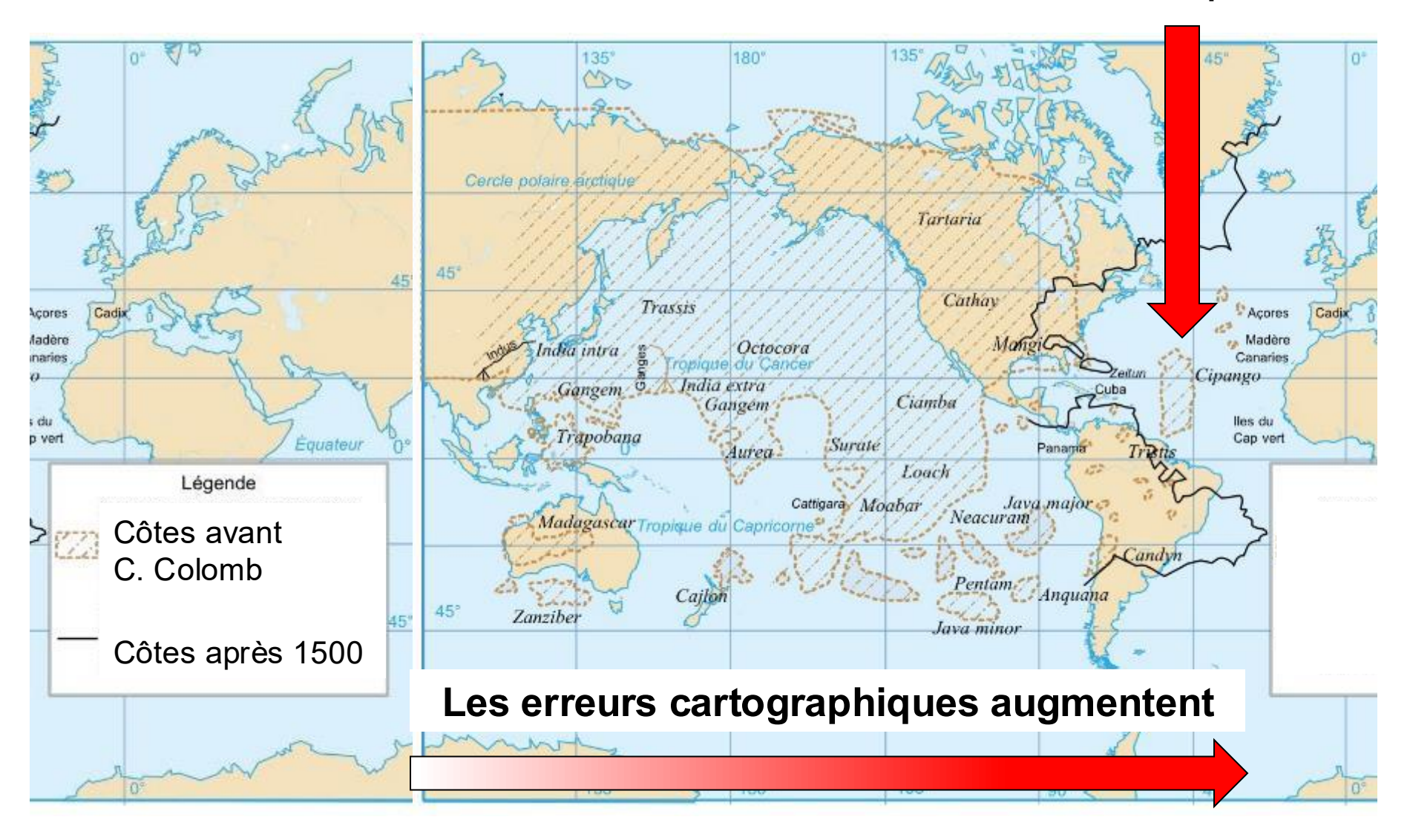
Rappels historiques: les grandes étapes de l'antiquité 31° N • 250 avant JC Eratosthène: rayon de la Terre Soleil En utilisant de la trigonométrie simple, et le fait que le Soleil soit très éloigné de la Terre, il trouve: $R_T = 6551 \text{ km}$ Alexandrie valeur réelle $R_{T} = 6378 \text{ km}$ Syene Terre erreur de 3% seulement!

• 150 après JC Ptolémée: Théorie géocentrique

Carte du monde de Ptolémée (vers + 150 après J.C.)

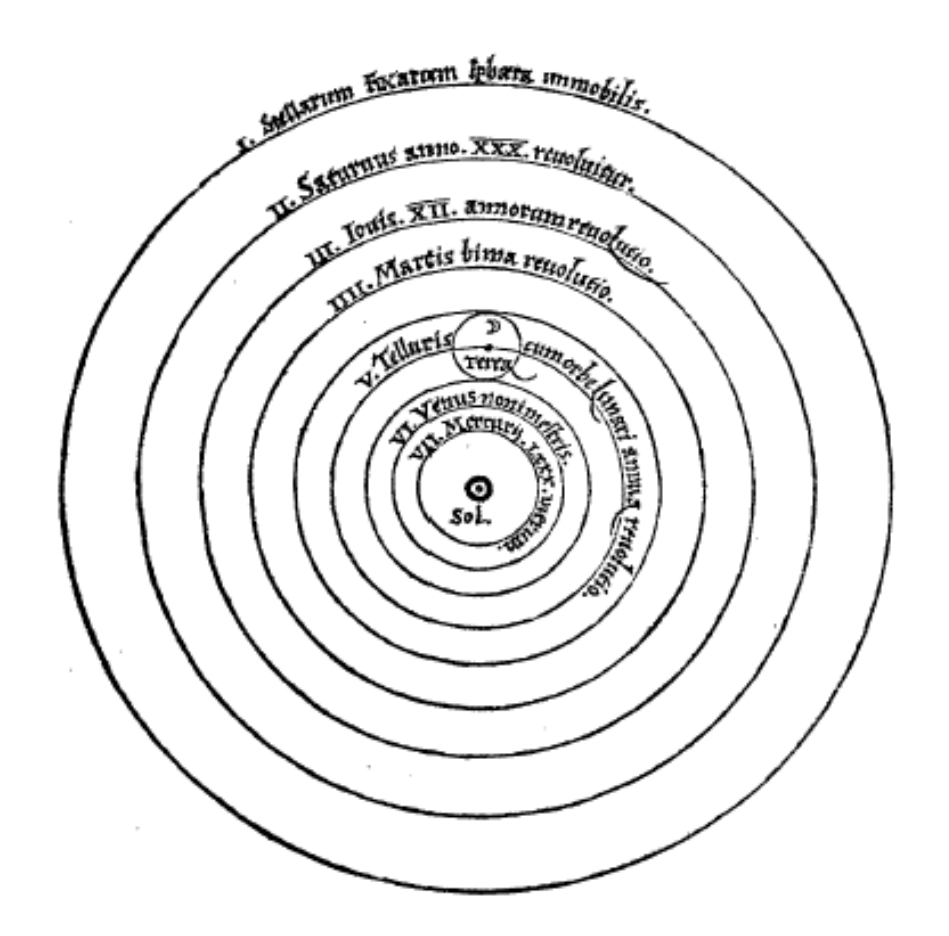


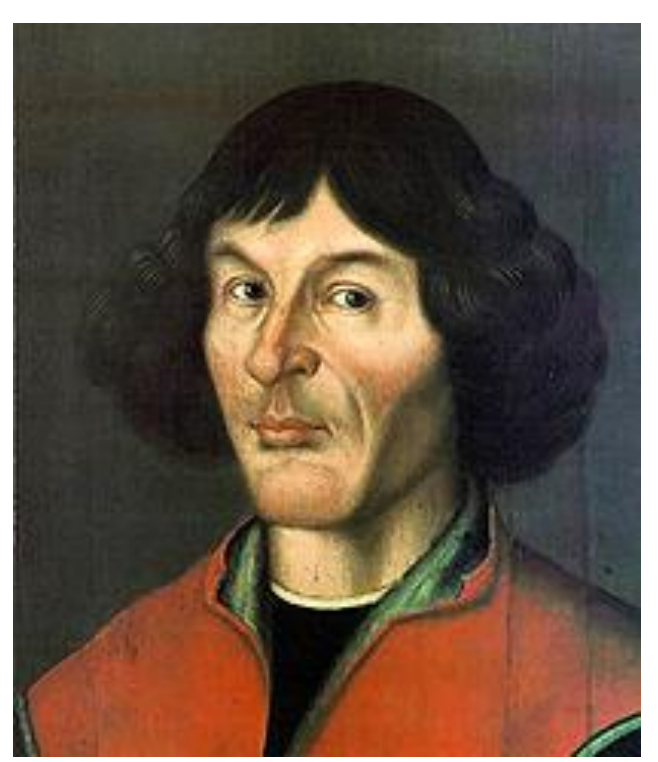
Position supposée du Japon



Rappels historiques: l'héritage de la Renaissance

- Copernic (début XVIème) : système héliocentrique avec orbites circulaires



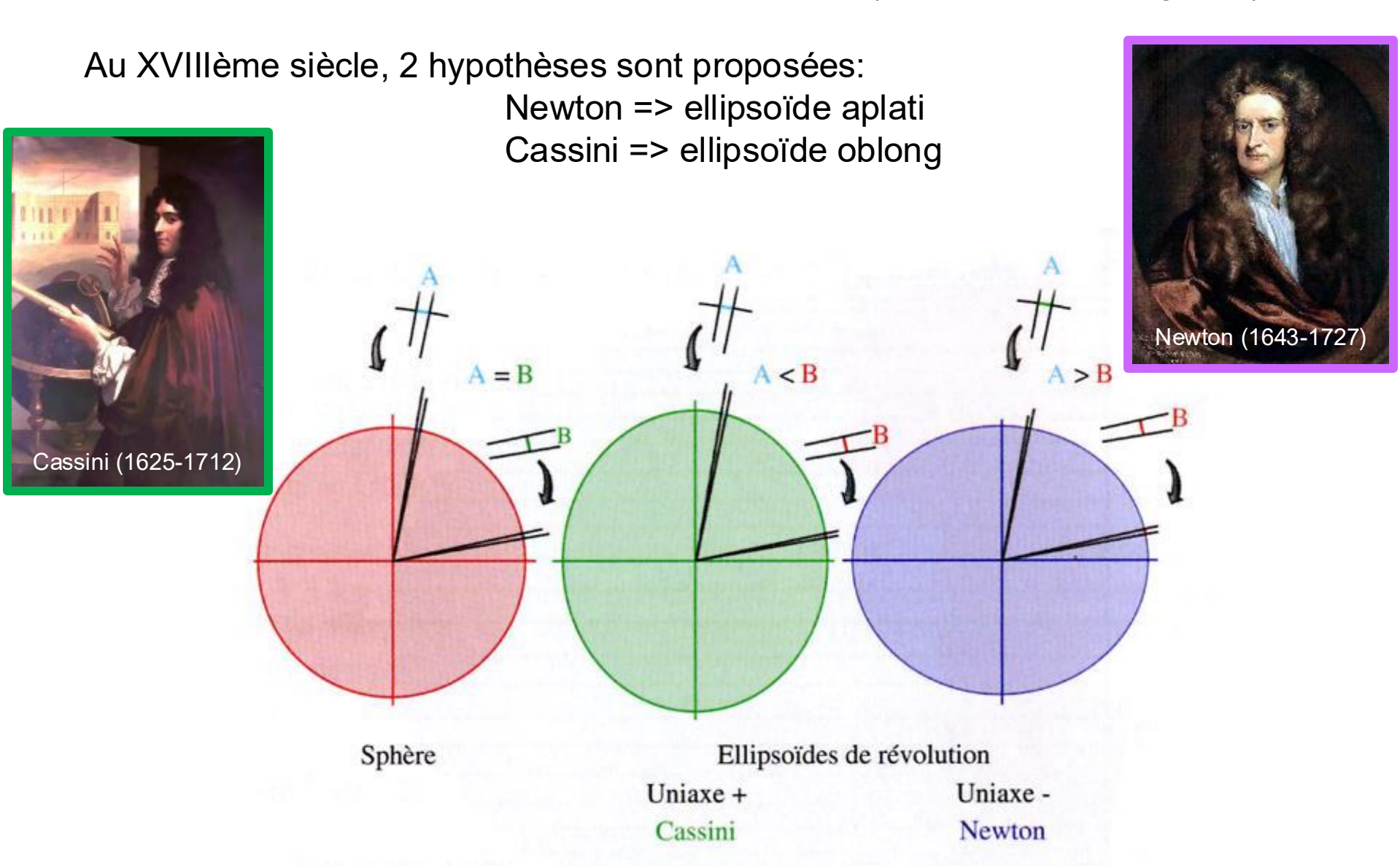


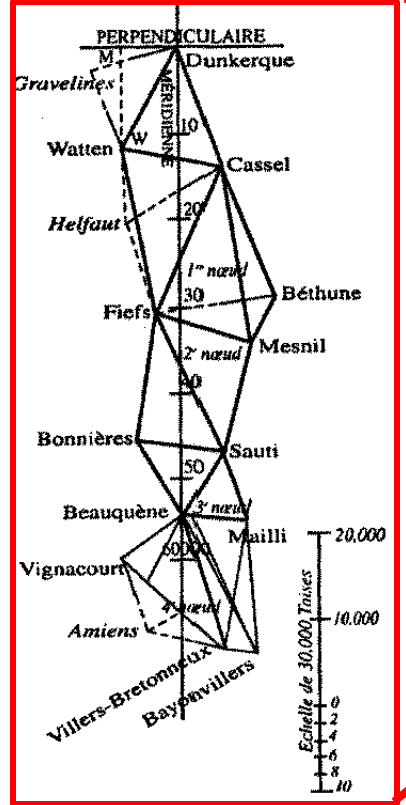
Nicolas Copernic 1473-1543

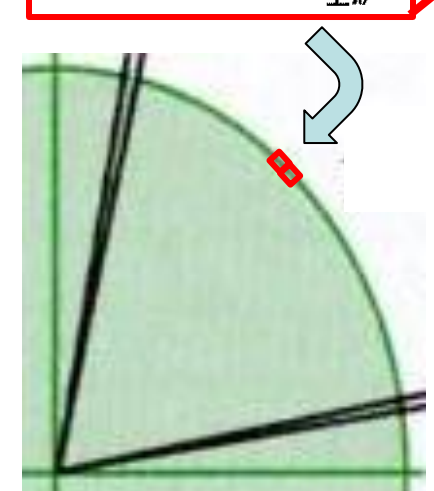
Rappels historiques: l'héritage de la Renaissance

- Copernic (début XVIème) : système héliocentrique avec orbites circulaires
- Tycho Brahé (fin XVIème) crée le 1er observatoire astronomique
- Képler (XVIIème) utilise ses mesures et propose ses 3 lois
- **Galilée** (1564-1643) : chute des corps, mvt du pendule,... lunette : découvertes nombreuses
- -Newton (1643-1727) : mécanique, optique, téléscope, analyse spectrale,...
- => théorie de la gravitation universelle

La Terre est sphérique en première approximation (Erathosthène, Magellan)



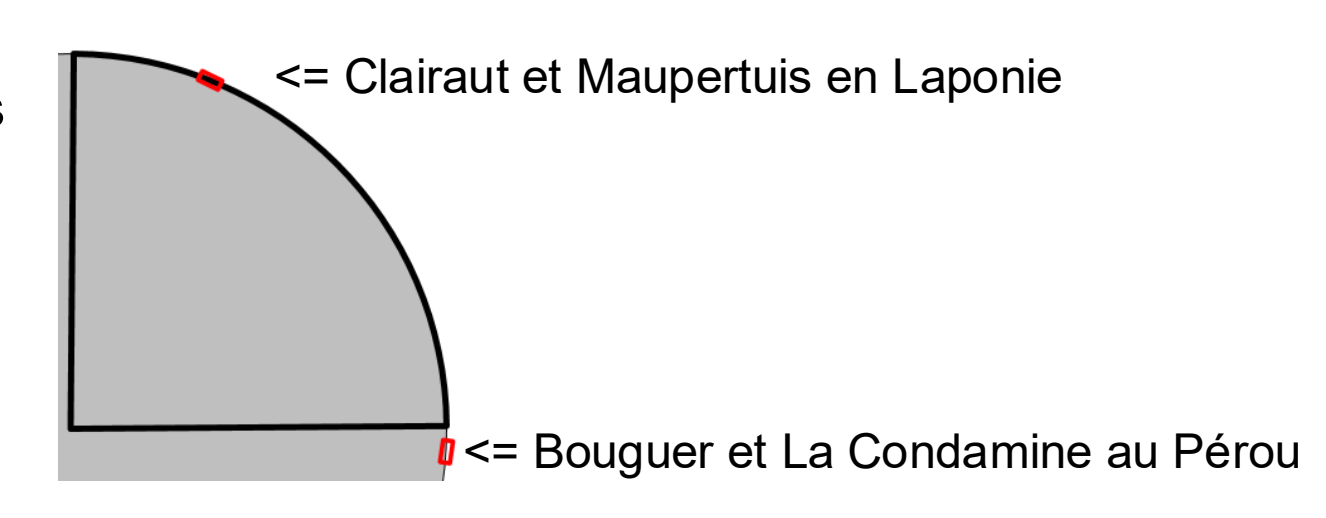






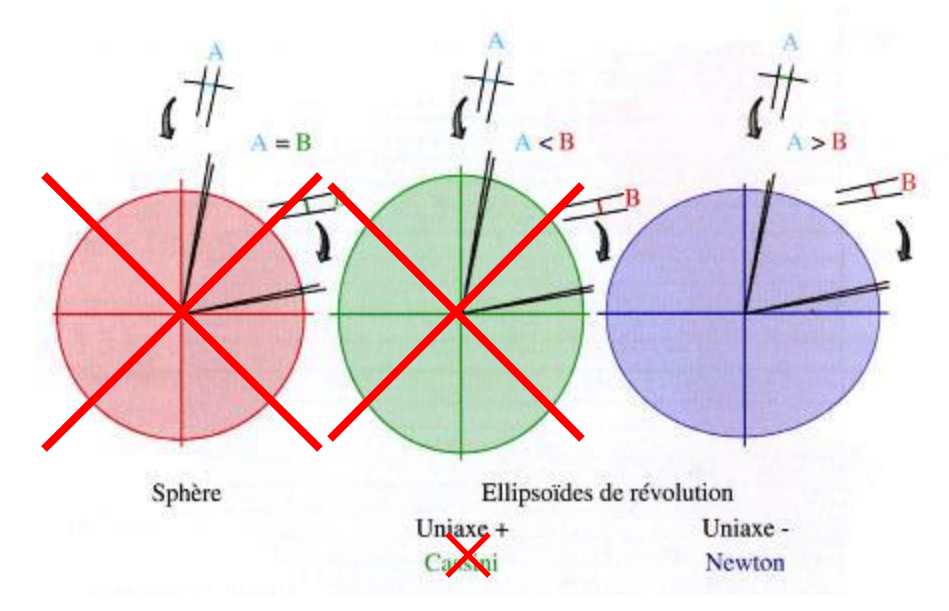
Premières expéditions scientifiques (1736)

Mesure du degré de méridien





Le degré de méridien est plus long en Laponie qu'au Pérou



Newton a raison!

La Terre : un ellipsoïde aplati aux pôles

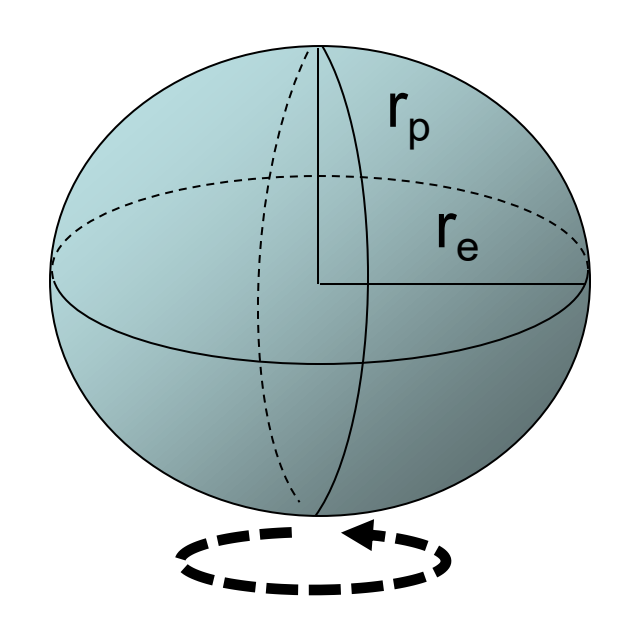
La circonférence polaire est de 40 000 km, par définition du mètre après la révolution française.

Ellipsoïde de référence:

Rayon équatorial : r_e = 6378 km

Rayon polaire : $r_p = 6357 \text{ km}$

Aplatissement: 1/298



Rotation de la Terre

- => Force centrifuge plus forte à l'équateur
- => Aplatissement aux pôles dû à la plasticité des matériaux terrestres

=> forte implication sur la structure interne de la Terre !



Deux approches :

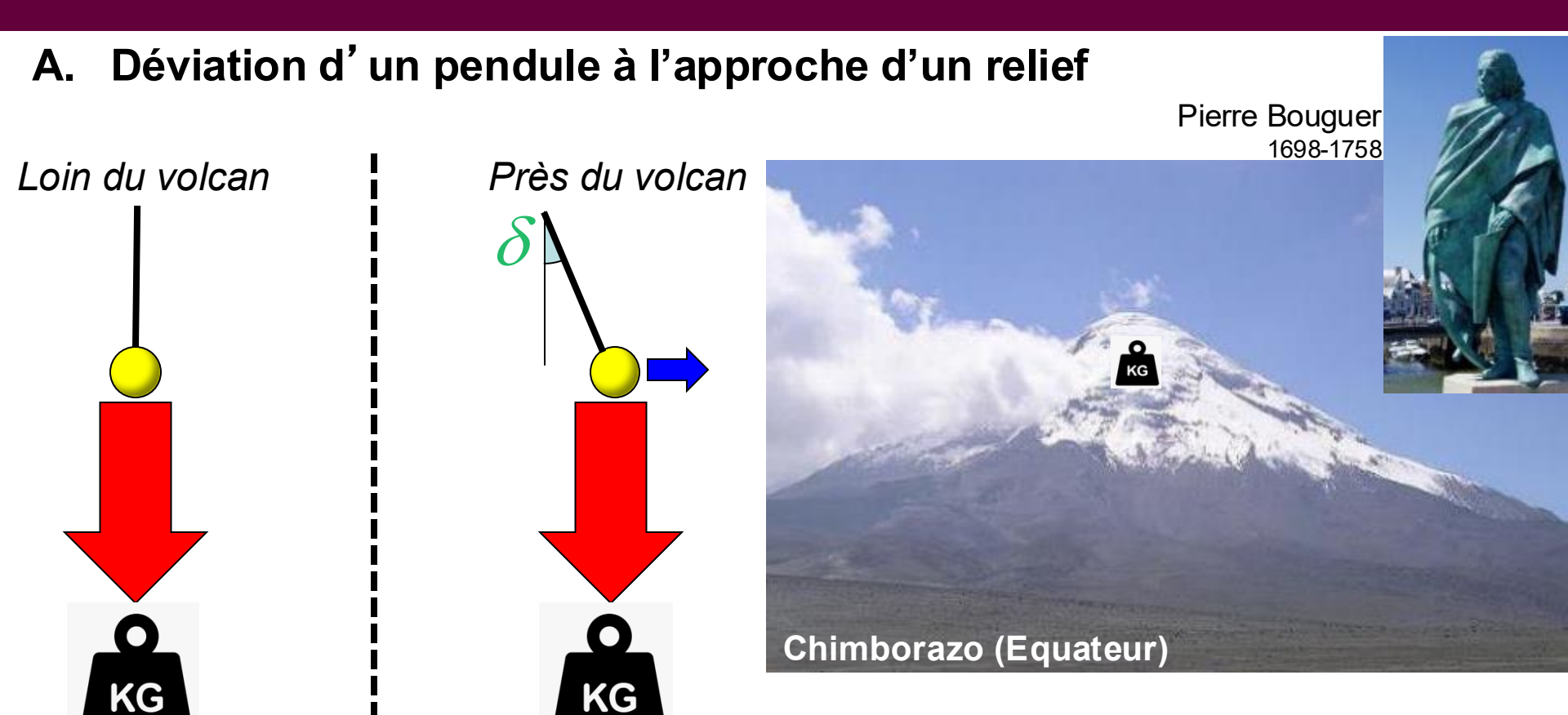


ou



A. Par comparaison

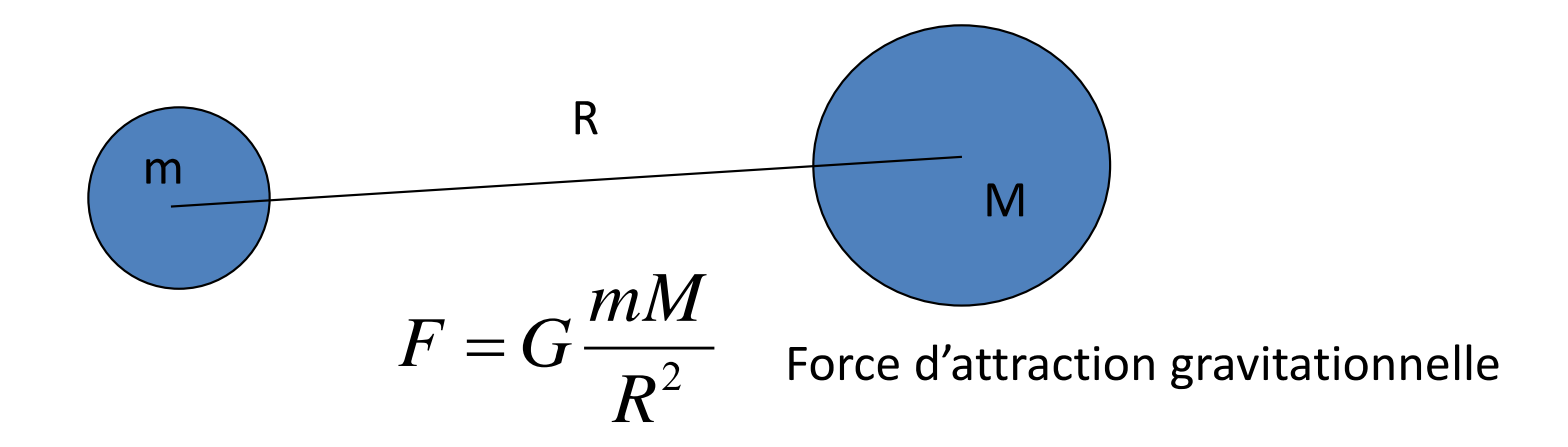
B. Avec les constantes physiques

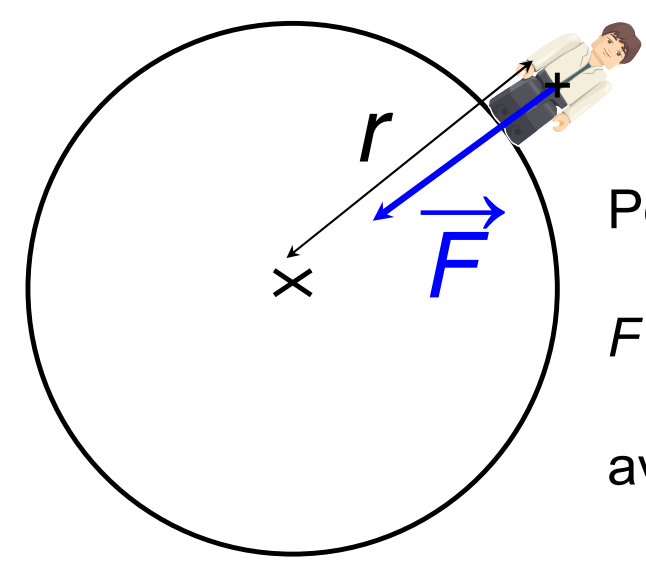


La déviation du pendule, δ , due à la force d'attraction par le volcan s'exprime ainsi

δ = f(masse et distance du volcan, masse de la Terre, rayon terrestre)
mesuré calculées inconnue connue Everest
Chimborazo

B. A partir de la loi d'attraction universelle de Newton





Pour un objet à la surface de la Terre, on a aussi :

$$F = m.g$$

avec g : accélération de la pesanteur.

B. A partir de la loi d'attraction universelle de Newton

Force F appliquée à un objet de masse m se trouvant à la surface du globe terrestre de rayon R_t et de masse M_t :

$$F = \frac{G.m.M_t}{R_t^2} = m.g \implies M_t = \frac{R_t^2. g}{G}$$

Nécessite:

- Mesure de l'accélération de la pesanteur g
- 2) Mesure de la constante universelle de gravitation G

B. A partir de la loi d'attraction universelle de Newton

1) Mesure de l'accélération de la pesanteur (g):

Huygens (1629-1695) période d'oscillation d'un pendule (T) :

$$T = 2\pi \sqrt{\frac{L}{g}}$$

La pesanteur moyenne sur Terre est 9.81 m.s⁻²

Cette valeur est plus petite à l'équateur (9.78) et plus grande aux pôles (9.83). Vous "pesez" donc moins à l'équateur qu'aux pôles !

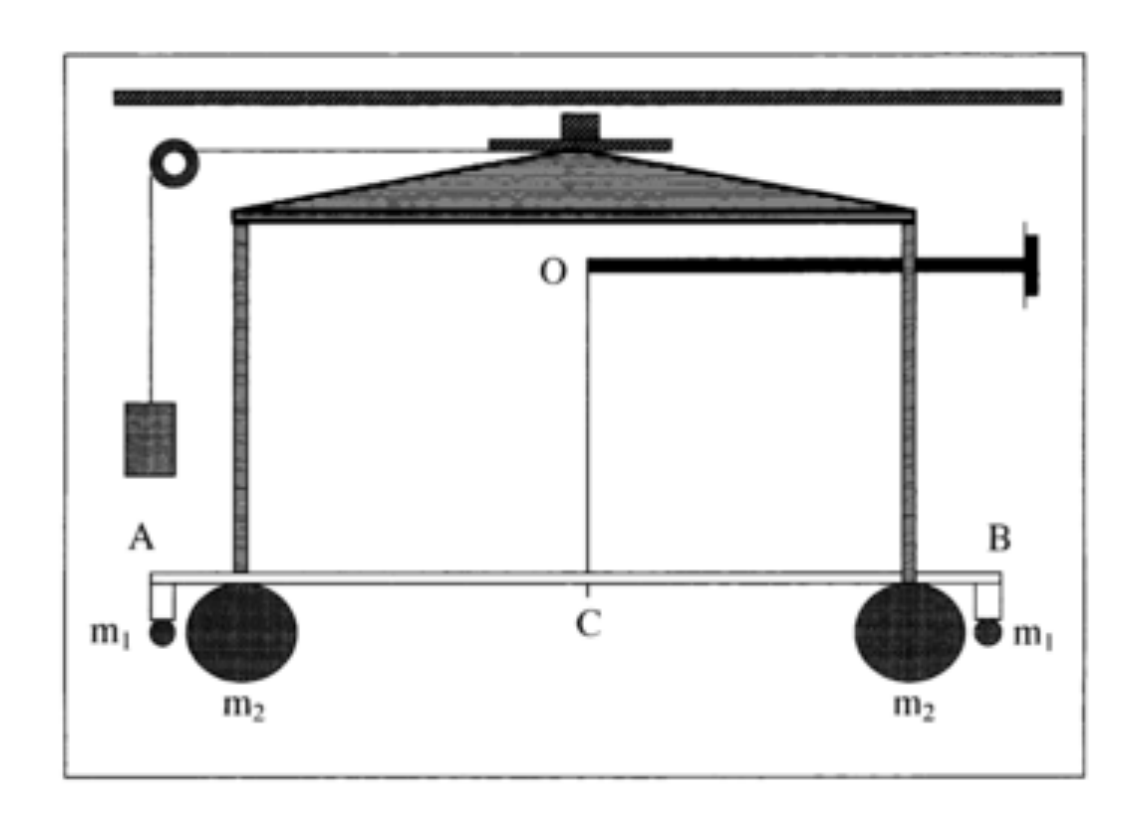
Raisons:

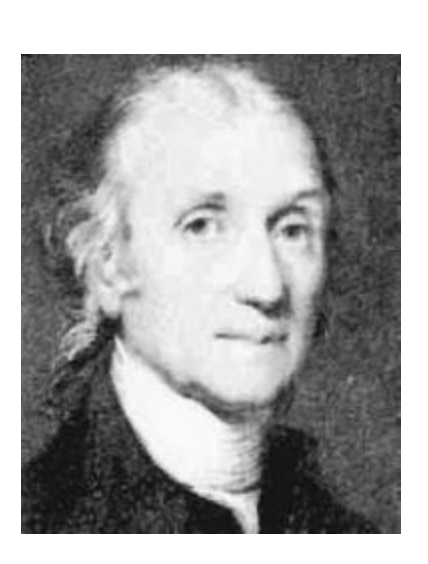
- Aplatissement (R_{pôle} < R_{équateur})
- Plus de masse à l'équateur qu'aux pôles
- Accélération centrifuge a (a= ω ².r , avec ω = $2\pi/T$ où T est la période de rotation)

B. A partir de la loi d'attraction universelle de Newton

2) Mesure de la constante universelle de la gravité G :

Expérience de Cavendish (1798)





B. A partir de la loi d'attraction universelle de Newton

2) Mesure de la constante universelle de la gravité G :

Expérience de Cavendish (1798)

On approche les grosses sphères des petites, Elles les attirent sans les toucher

- \Rightarrow le pendule de torsion (barre rigide déformable) a tourné d'un angle θ
- ⇒ Equilibre entre la force de torsion du fil et la force d'attraction gravitationnelle

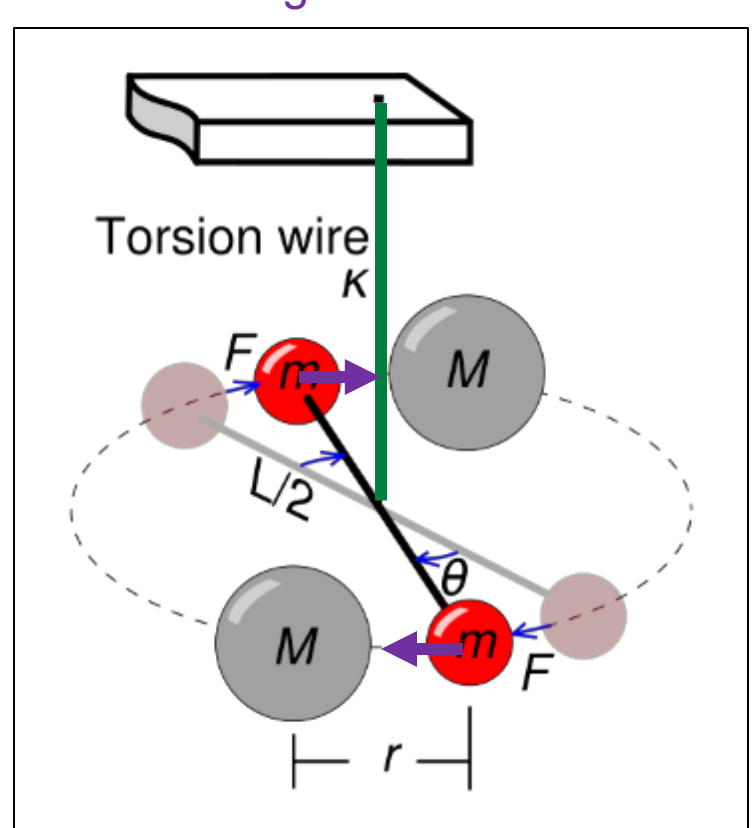
Indépendamment on mesure la force \mathbf{F} à exercer pour obtenir ce même angle θ .

on a:
$$\mathbf{F} = f(\mathbf{m}, \mathbf{M}, \mathbf{L}, \theta, \mathbf{G})$$

Mesurée connues cherchée

$$=>$$
 G = 6,67.10⁻¹¹ N.m².kg⁻²







B. A partir de la loi d'attraction universelle de Newton

Calcul de la masse du globe terrestre

Cavendish a déterminé la masse de la Terre :

$$M_t = \frac{g.R_t^2}{G} = 5,97.10^{24} \text{ kg}$$

A partir de la masse et du volume de la Terre, on peut calculer la masse volumique globale de la Terre:

 $\rho = 5.52 \text{ kg/dm}^3 \text{ (ou g/cm}^3\text{)} = 5520 \text{ kg/m}^3$

A partir de la masse et du volume de la Terre, on peut calculer la masse volumique globale de la Terre:

 $\rho = 5,52 \text{ kg/dm}^3 \text{ (ou g/cm}^3\text{)} = 5520 \text{ kg/m}^3$

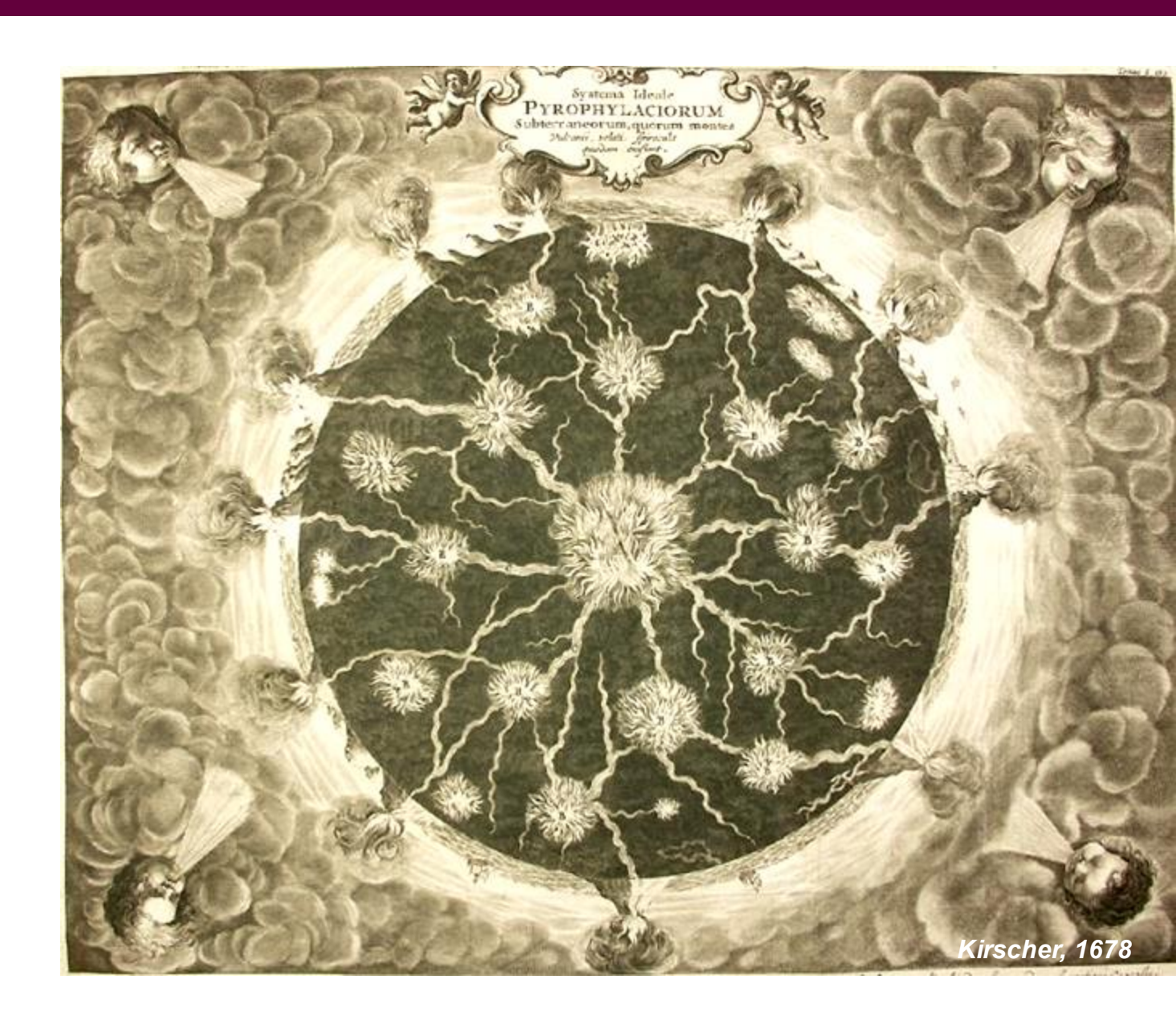
Mais,

la masse volumique moyenne des roches de surface est seulement de 2700 kg/m³

=> Des matériaux plus denses doivent donc exister en profondeur!

Etat solide ou liquide?

Ancien soleil refroidi?



Exploration de l'intérieur de la Terre :

Quels sont les outils à notre disposition ?

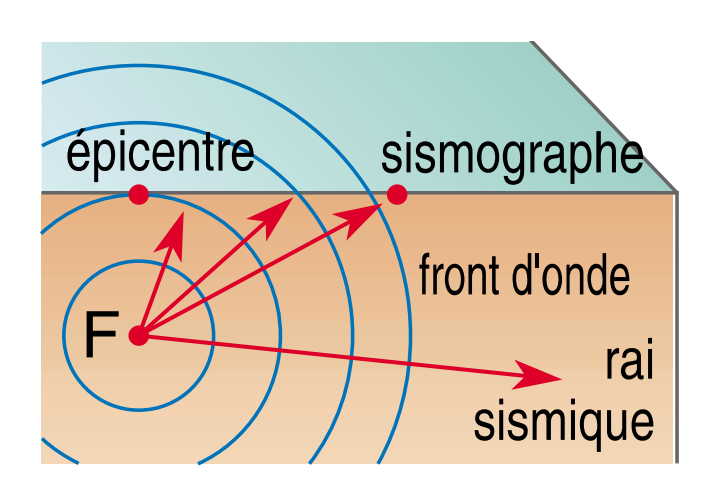
- Observations directes (forages < 15 km)
- Méthodes géophysiques
 - Sismique
 - Gravimétrie
 - Magnétisme
- Méthodes pétrologiques
 - Analyse de roches volcaniques, xénolithes (un xénolithe = enclave de roches (ex. manteau) dans une roche volcanique).
 - Expériences à haute température et haute pression en laboratoire



Exploration de l'intérieur de la Terre : La Sismologie

C'est l'étude de la propagation de l'énergie mécanique relâchée par les séismes à travers la Terre.

- Chaque séisme, explosion (carrières), choc, voiture... produit une vibration dans les roches du sous-sol.
- Cette vibration se propage dans toutes les directions, c'est une onde élastique, voire une onde sismique.



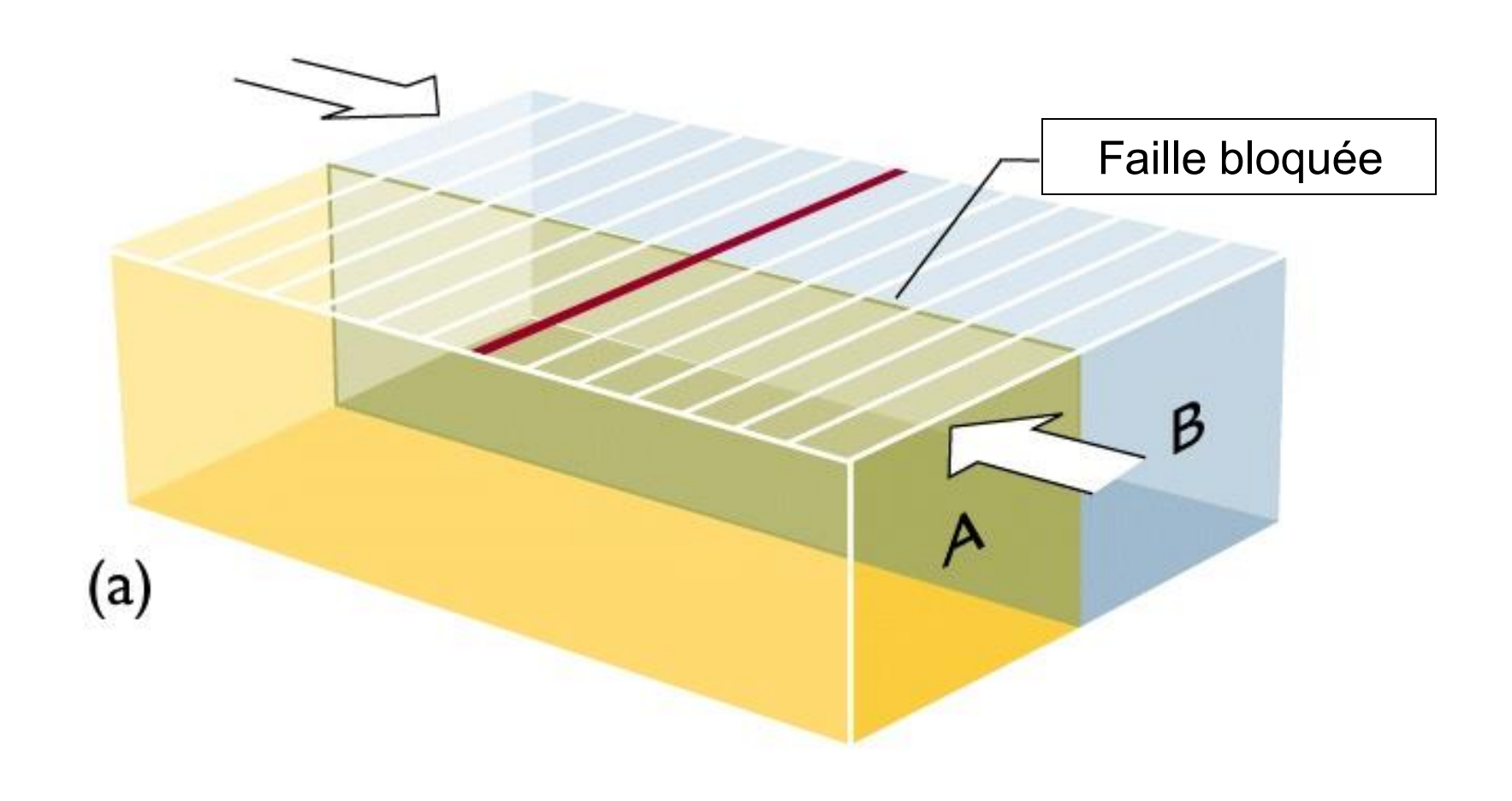
Les ondes sismiques se propagent **radialement** dans les roches à partir du foyer

Les ondes sismiques de mesure Epicentre Profondeur focale Ondes sismiques intensité décroissante

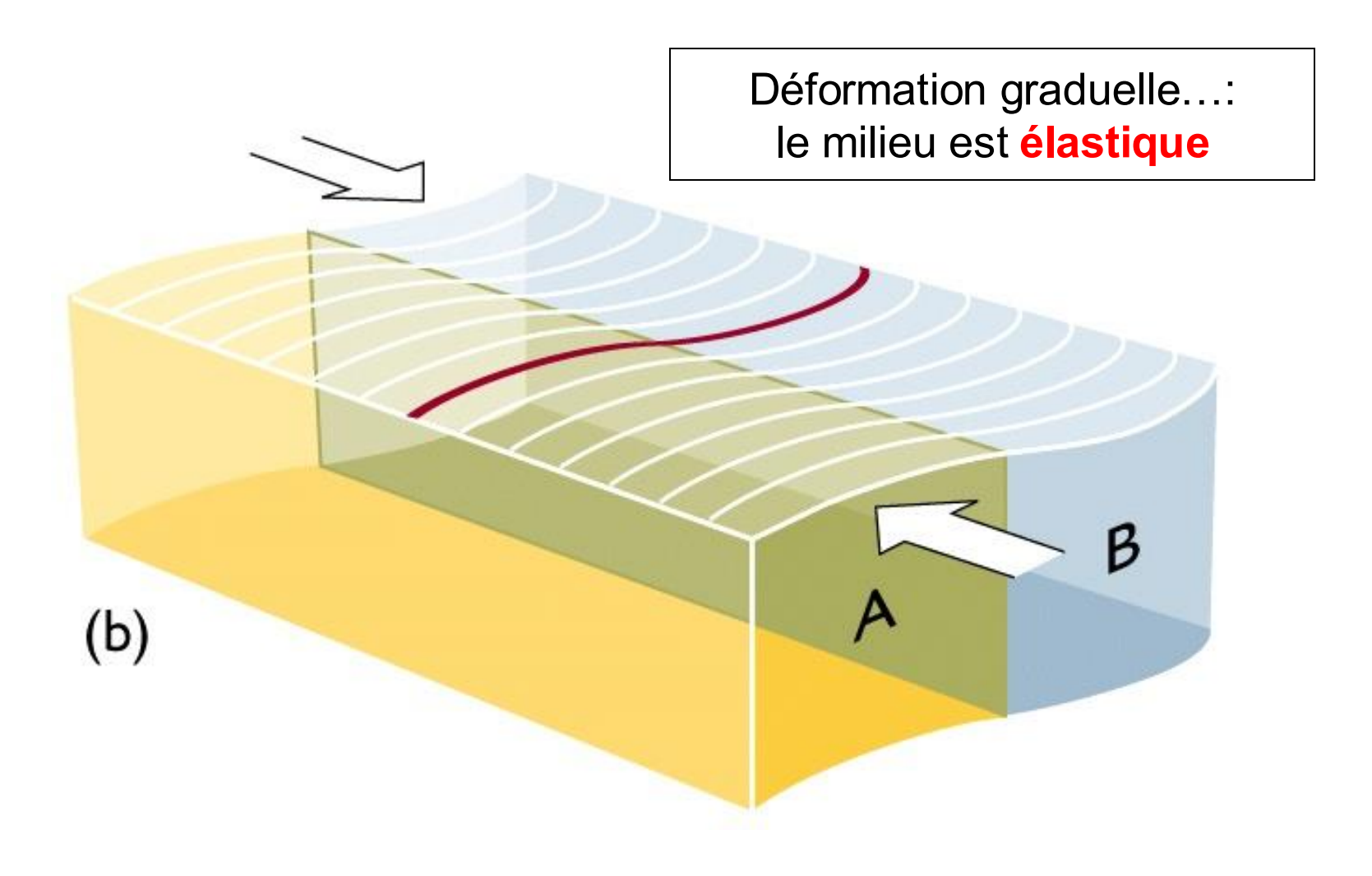
- séisme: mouvement relatif brusque de masses de roches
- faille: lieu où se produit le mouvement

 Il existe des failles à toutes les échelles (de 10-3 à 106 m)
- foyer: site de la rupture initiale
- épicentre: point de la surface au dessus du foyer

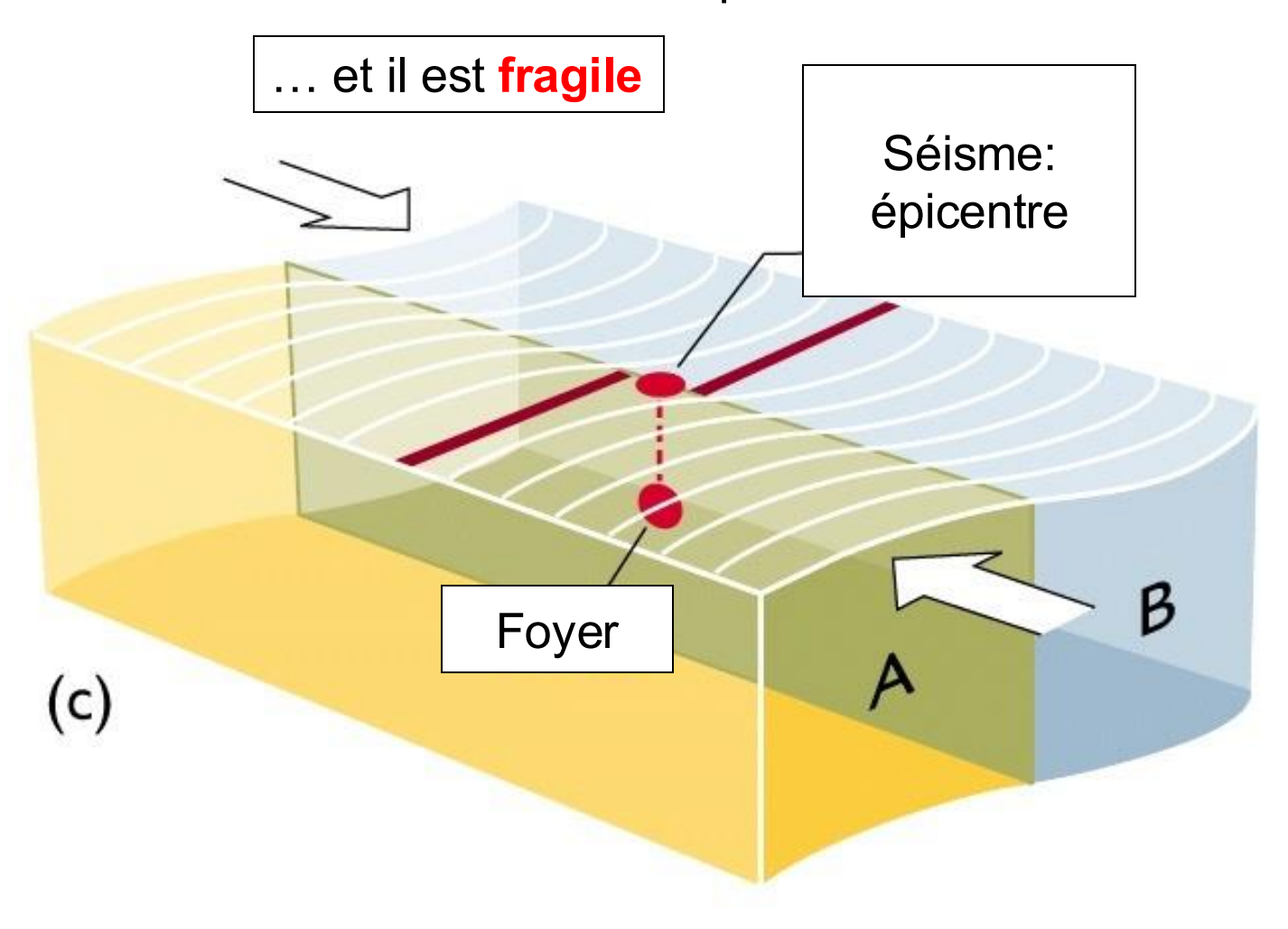
Les séismes: théorie du rebond élastique



Les séismes: théorie du rebond élastique

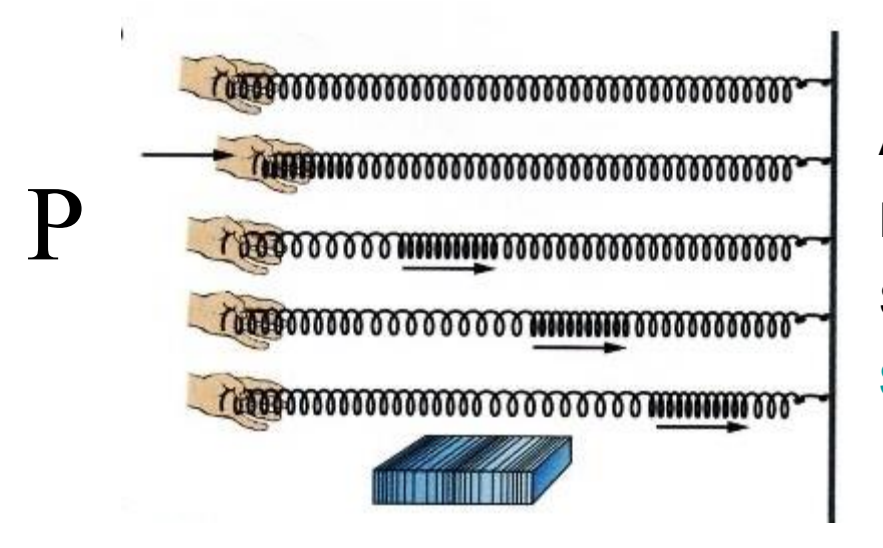


Les séismes: théorie du rebond élastique



Les ondes sismiques : ondes de volume (P et S) qui se propagent à l'intérieur du Globe

Ondes P (de pression)

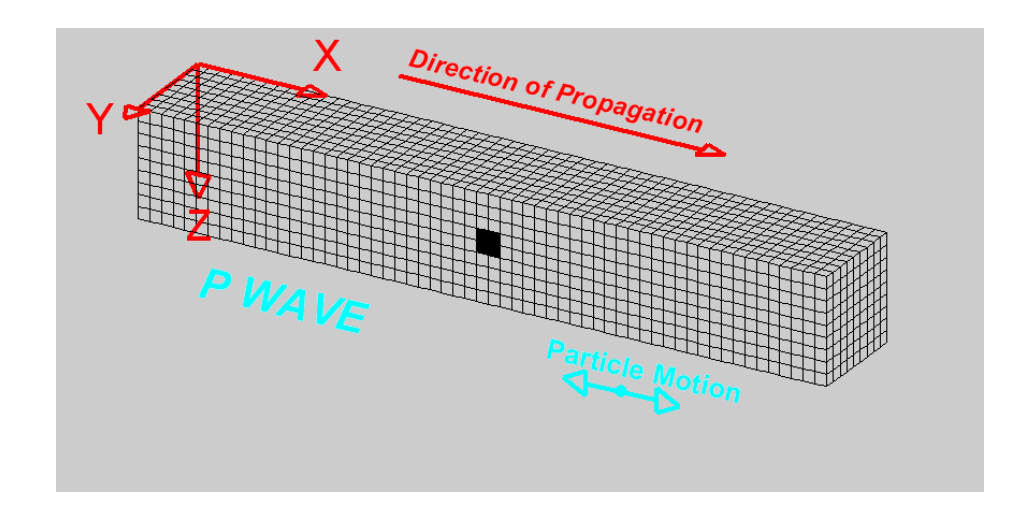


Aussi appelées ondes "premières"

Parallèles à la direction du mouvement

Semblables aux ondes acoustiques.

Se propagent aussi dans les liquides



Les ondes sismiques : ondes de volume (P et S) qui se propagent à l'intérieur du Globe

Ondes S (de cisaillement)

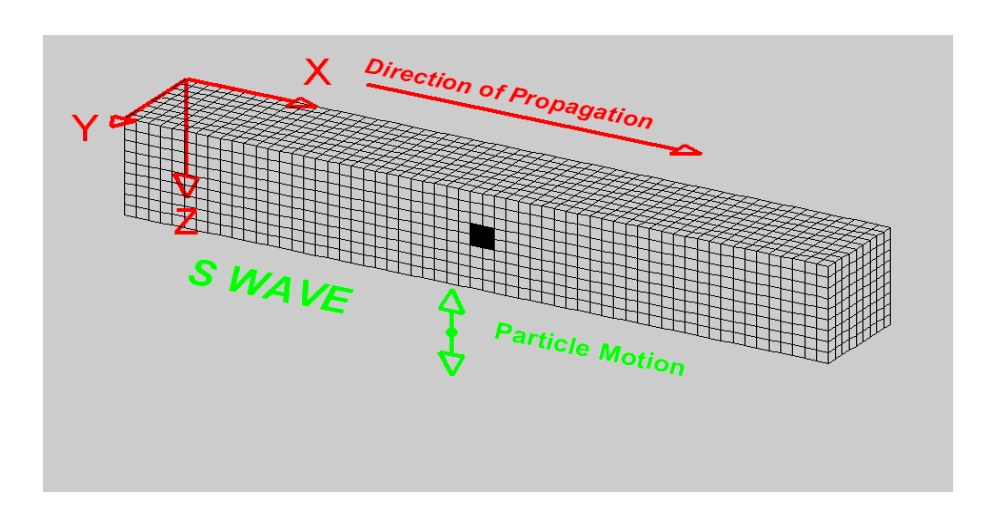
S manumaname -

Ondes secondes

Perpendiculaires à la direction du mouvement;

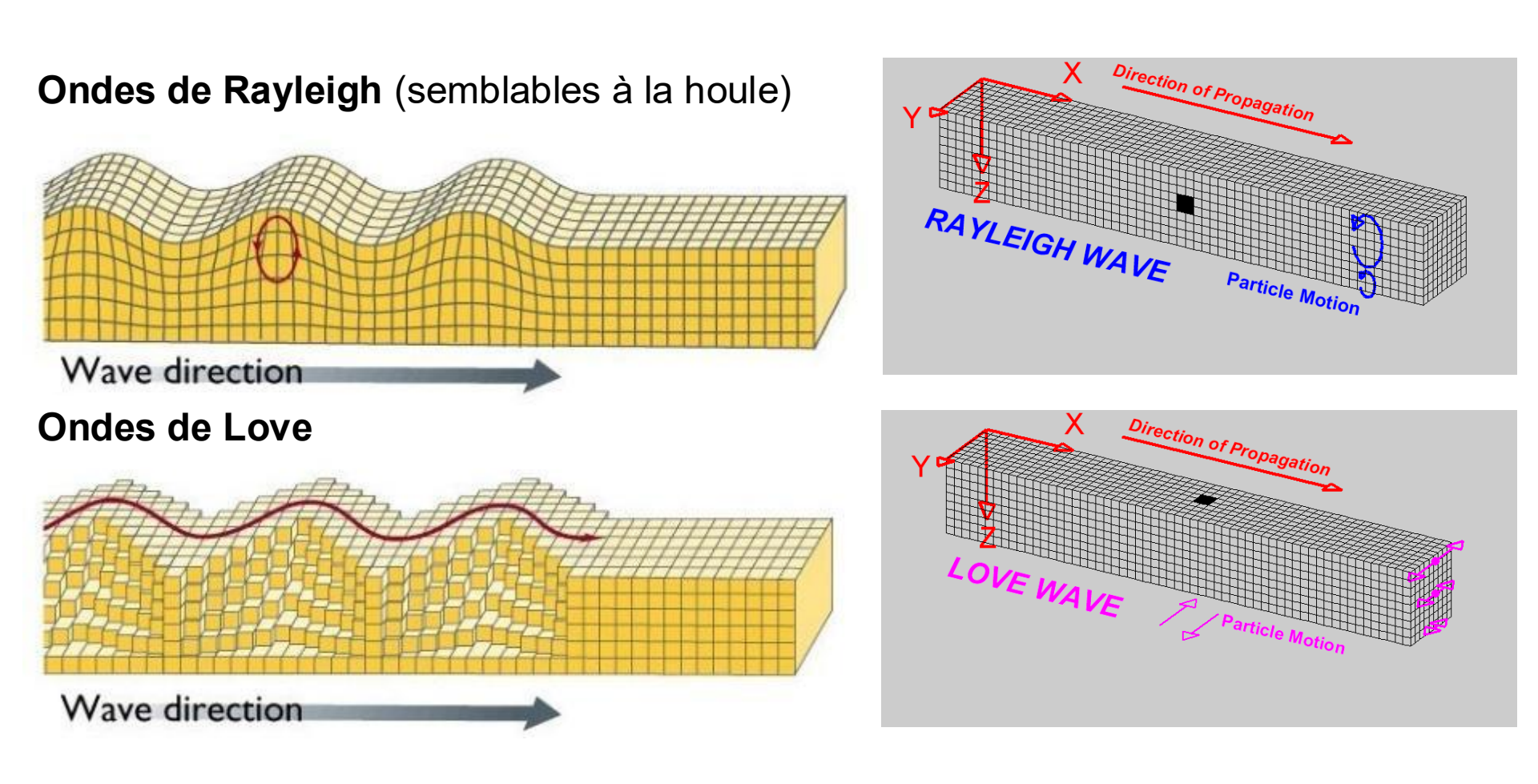
Dues à la résistance au cisaillement des matériaux.

Ne se propagent pas dans les liquides



Les ondes sismiques: ondes de surface, qui se propagent à la surface du globe

2 types d'ondes de surface:



Elles se propagent seulement le long d'interfaces entre deux matériaux différents.

Les ondes sismiques

Leur vitesse de propagation dépend:

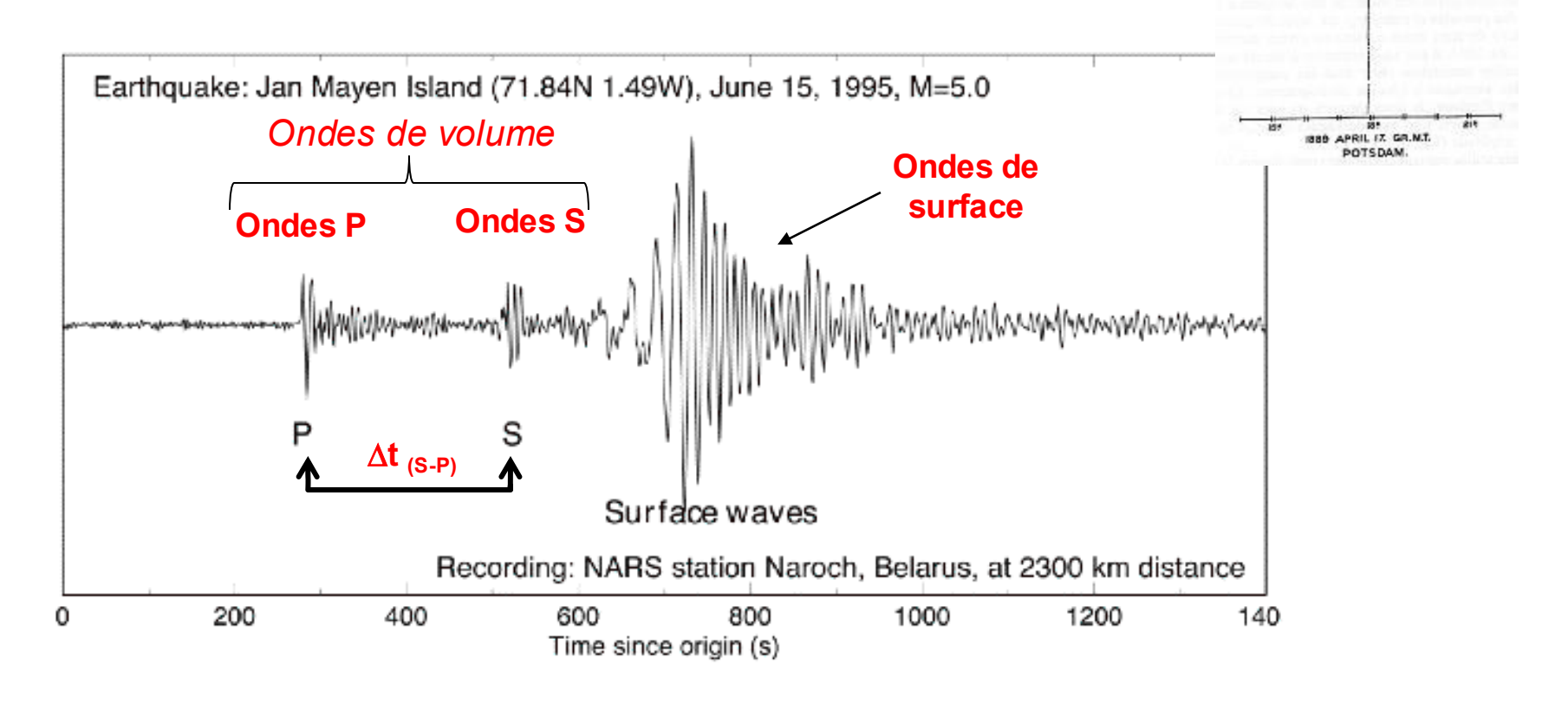
- du type d'ondes:
 - Les ondes longitudinales
 « ondes P » sont toujours les plus rapides.
 - Les ondes transversales
 « ondes S » sont en général presque 2x moins rapides.
 - Les ondes de surface sont les plus lentes
- de la pression.

Matériau	Vitesse P (m/s)	Vitesse S (m/s)
Air	332	0
Eau	1400-1500	0
Pétrole	1300-1400	0
Argile	1000-2500	400-1000
Sable (sec)	200-1000	80-400
Sable (saturé en eau)	800-2200	320-880
Grès	1400-4300	700-2800
Calcaire	4000-6100	2000-3000
Granite	5500-5900	2800-3000
Basalte/Gabbro	6400-6900	3200-3500
Péridotite	8000	4600
Acier	6100	3500
Béton	3600	2000

Les ondes sismiques

Premier enregistrement d'un séisme en 1889 en Allemagne (Le séisme a eu lieu à Tokyo)

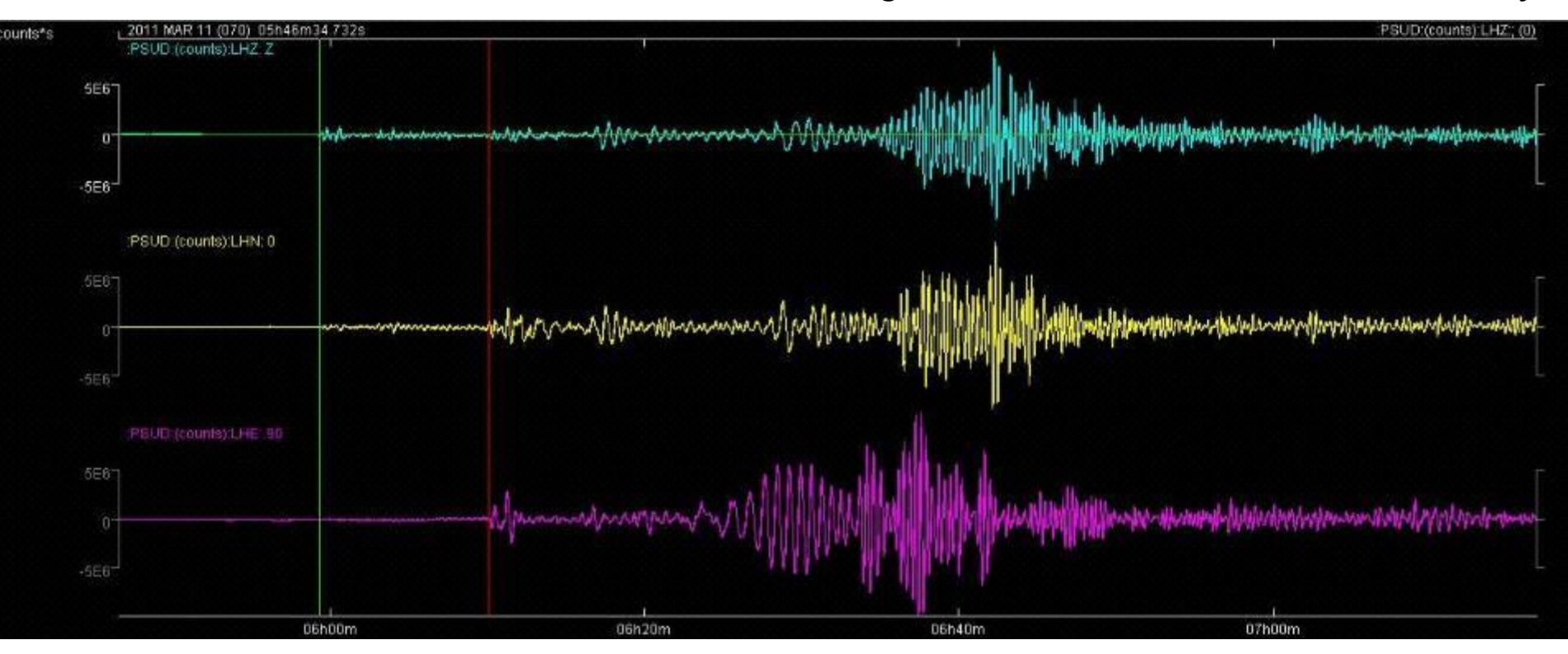
Les différentes ondes émises par un séisme



Les ondes sismiques

Séisme de Sendai 11/03/2011

Enregistrement station U. Paris Sud Orsay



Ondes:

Surface

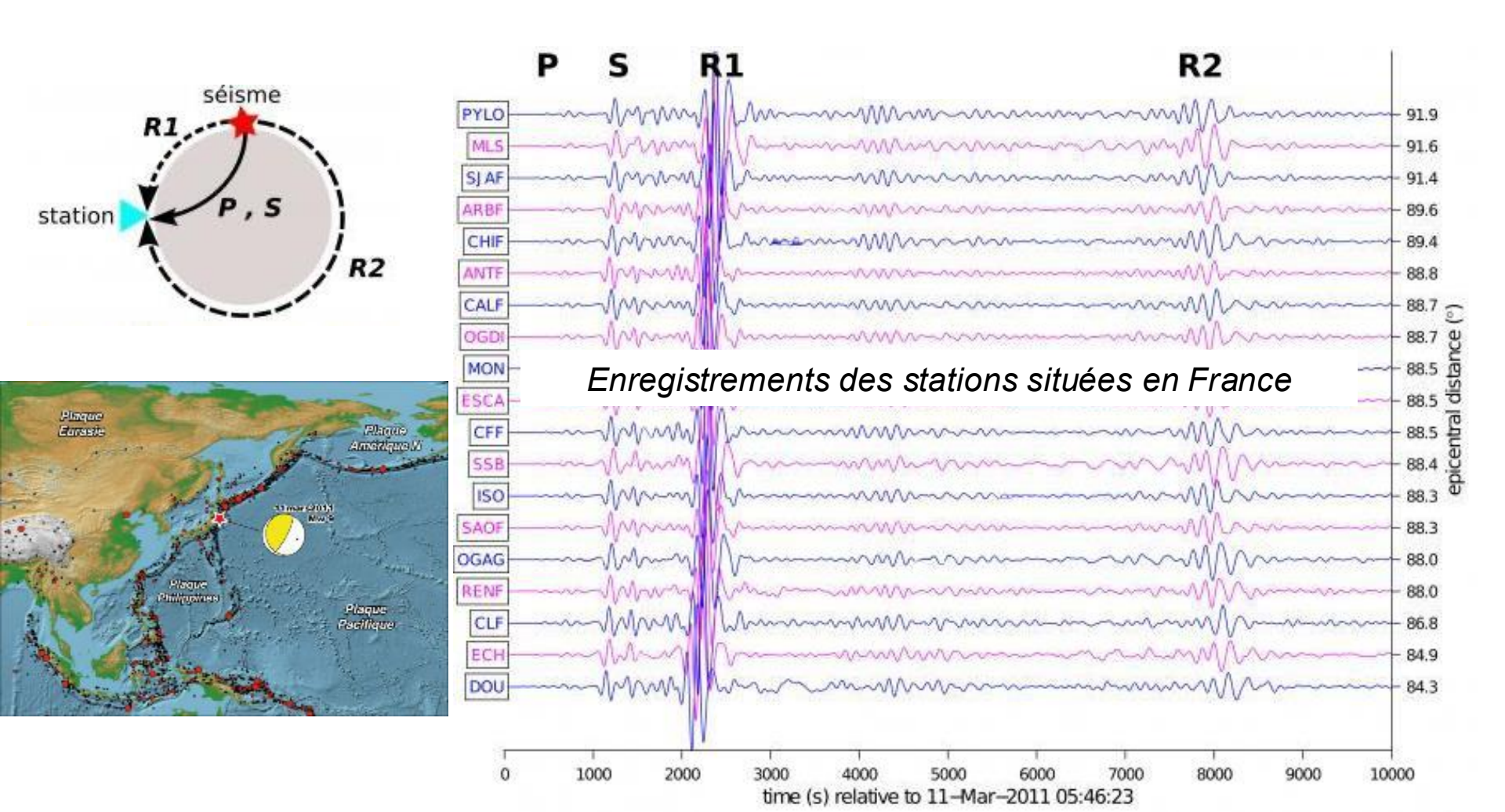
Distance de l'épicentre: 9500 km Déplacement vertical du bâtiment 504: **6 mm**

Les ondes sismiques

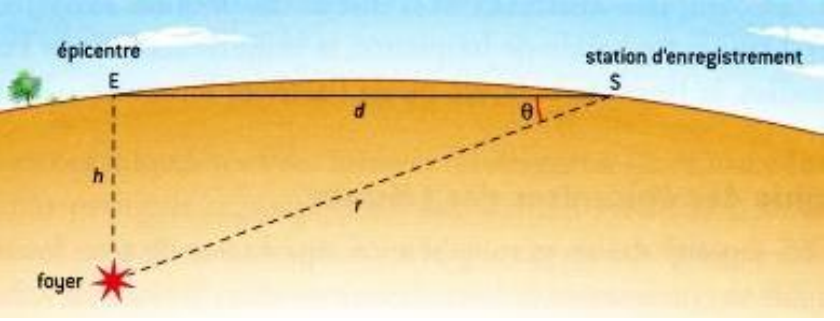
Séisme de Sendai 11/03/2011

Ordre d'arrivée:

- 1) Ondes de volumes (**P**, puis **S**)
- 2) Ondes de surface (R1, puis R2)

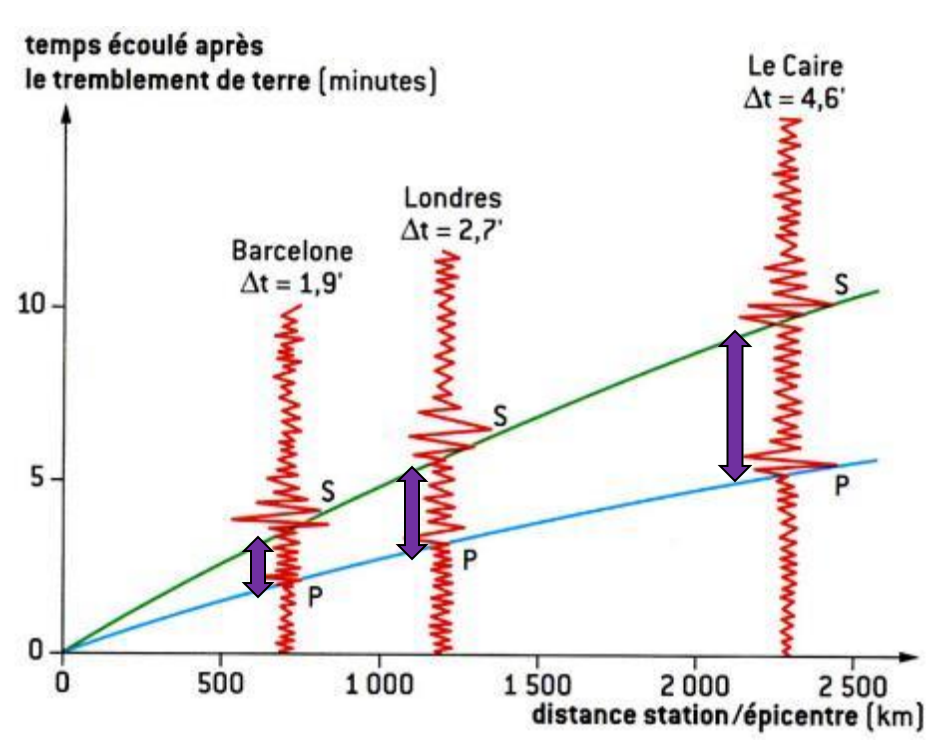


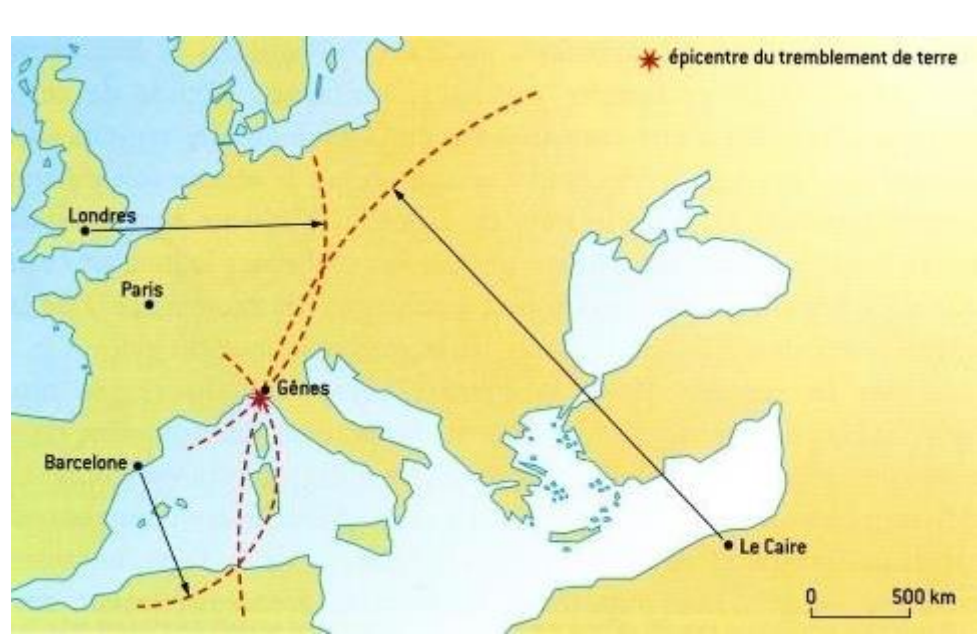
Localisation des séismes



Ondes S plus lentes que ondes P

- => retard Onde_S Onde_P d'autant plus grand que la station est loin de l'épicentre
- => repart => distance => localisation



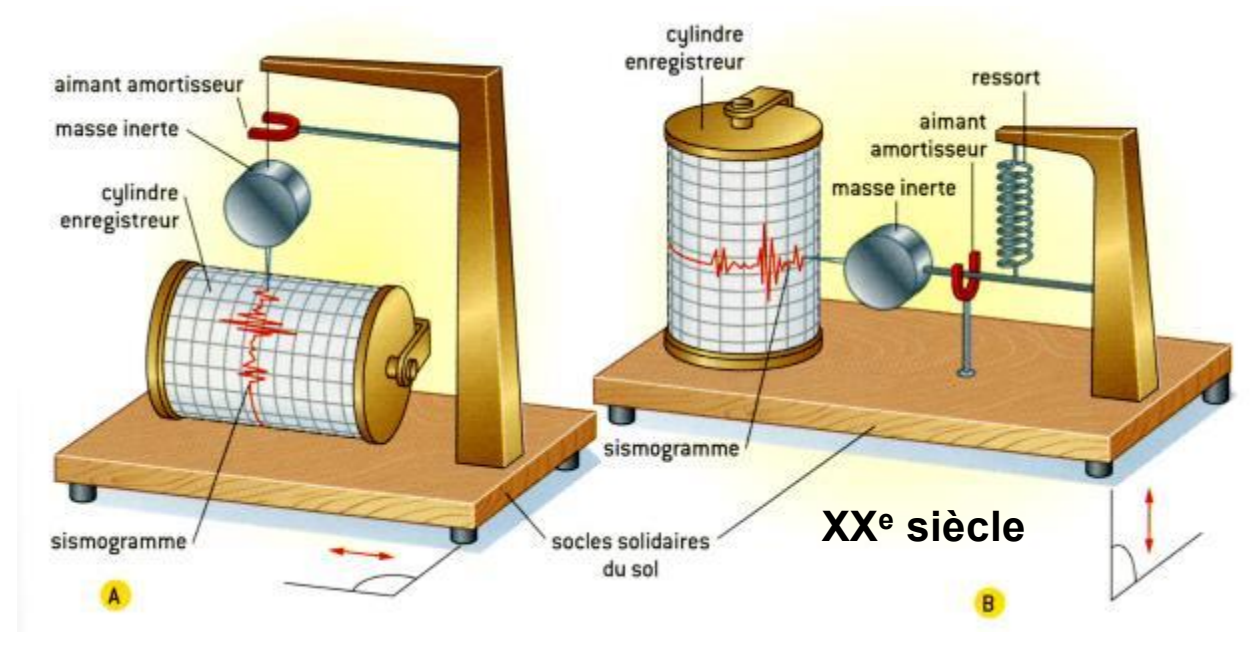


Les ondes sismiques: enregistrements

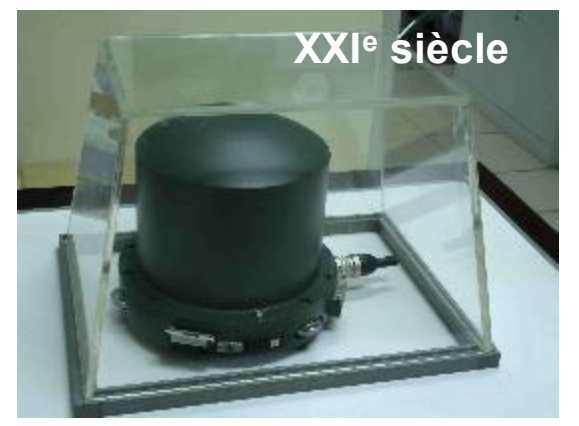
Les Sismomètres

IIe siècle (Chine)











Les séismes: les échelles d'intensité et de magnitude

Echelle M.S.K.: échelle d'intensité de séisme (comporte 12 degrés). <u>Ech. Qualitative (description)</u>

I : Seuls les sismographes enregistrent les vibrations

. . .

VI : Meubles déplacés.

VII: Lézardes sur les maisons.

VIII : Chute des cheminées des maisons.

IX : Maisons écroulées.

X : Rails de chemin de fer tordus.

. . .

XII : Villes rasées. Bouleversements importants du relief

(témoignages historiques)

Les séismes: les échelles d'intensité et de magnitude

Echelle de Richter : échelle de référence qui évalue l'énergie des séismes par la valeur de la magnitude.

Ech. Quantitative (mesure)

quantité d'énergie reçue à 100 km de l'épicentre, déduite de la lecture des sismogrammes.

$$M = \log\left(\frac{A}{T}\right) + q\left(\Delta, h\right) + a$$

A: amplitude maximale des ondes (en mm)

T: période (en s)

q: facteur d'atténuation (∆ distance épicentrale, h profondeur du foyer)

a: constante empirique

Les séismes: les échelles d'intensité et de magnitude

Le plus grand séisme enregistré (Chili, 1960): **M ~ 9,5** Cette faille a joué sur plus de **1000 km** de longueur

Les séismes de M=2 ne sont pas ressentis

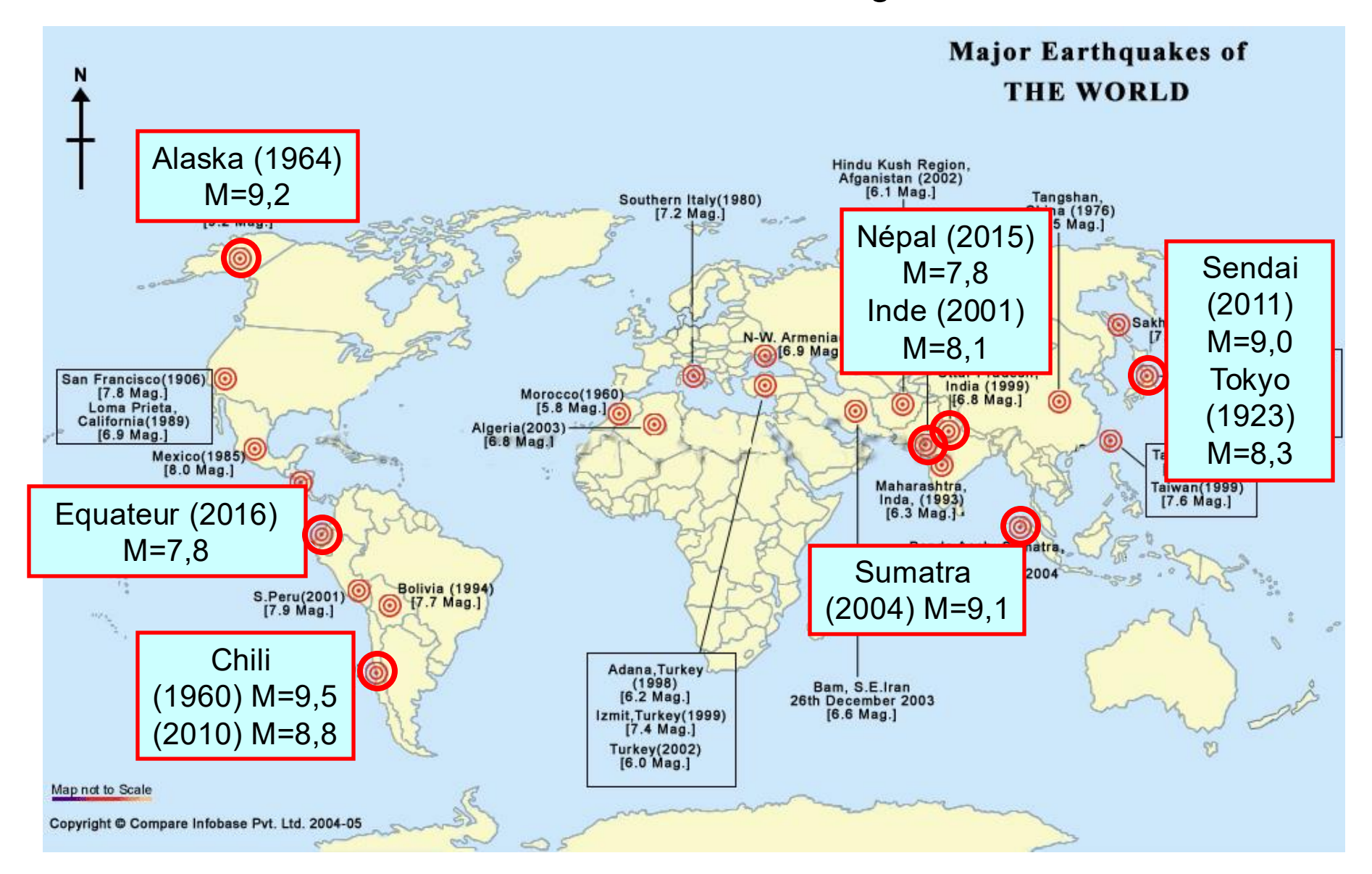
Fréquence sur Terre:

M = 2-3 : 1000 par jour

M = 6-7 : 100 par an

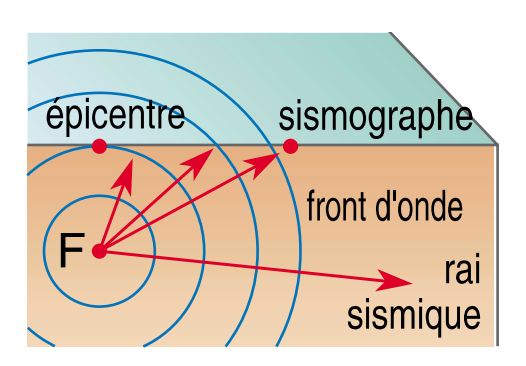
M > 9 : 1 à 5 par siècle

Les séismes: les échelles d'intensité et de magnitude



La propagation des ondes sismiques

- La vitesse sismique dépend de la composition du matériau et de la pression.
- Quand les ondes passent d'un matériau à l'autre, elles changent de vitesse et de direction.
- La propagation des ondes sismiques est représentée par des trajectoires constituées de segments de droites: les rais sismiques.



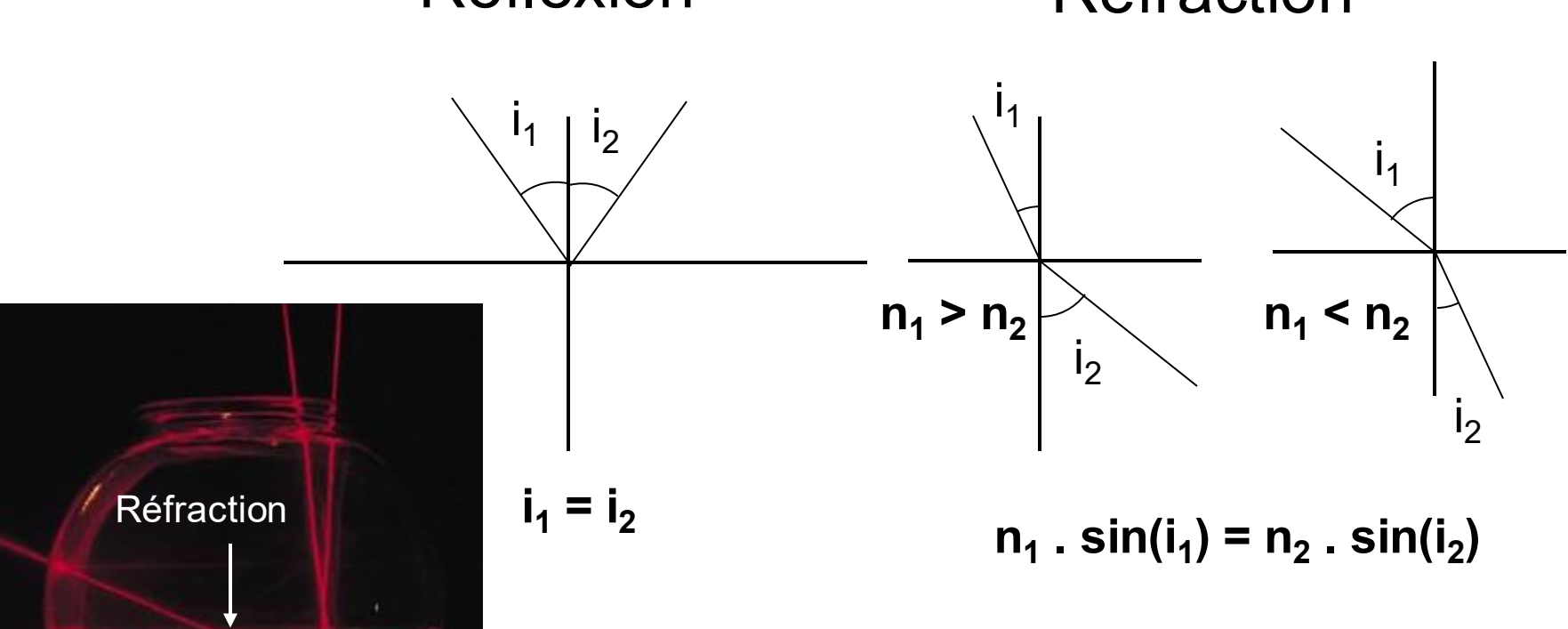
Réflexion ~

La propagation des ondes sismiques

Elle obéit aux lois de Descartes

Réflexion

Réfraction



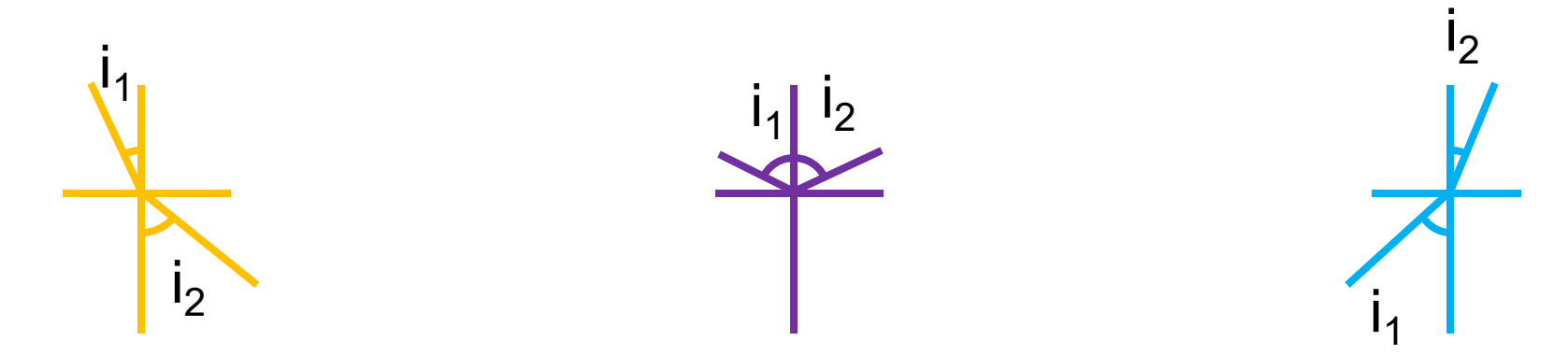
indice de refraction (n_i): 1/V_i

V : vitesse de propagation des ondes sismiques

La propagation des ondes sismiques: trajectoires des rais sismiques

La vitesse de propagation des ondes de volume augmente avec la profondeur

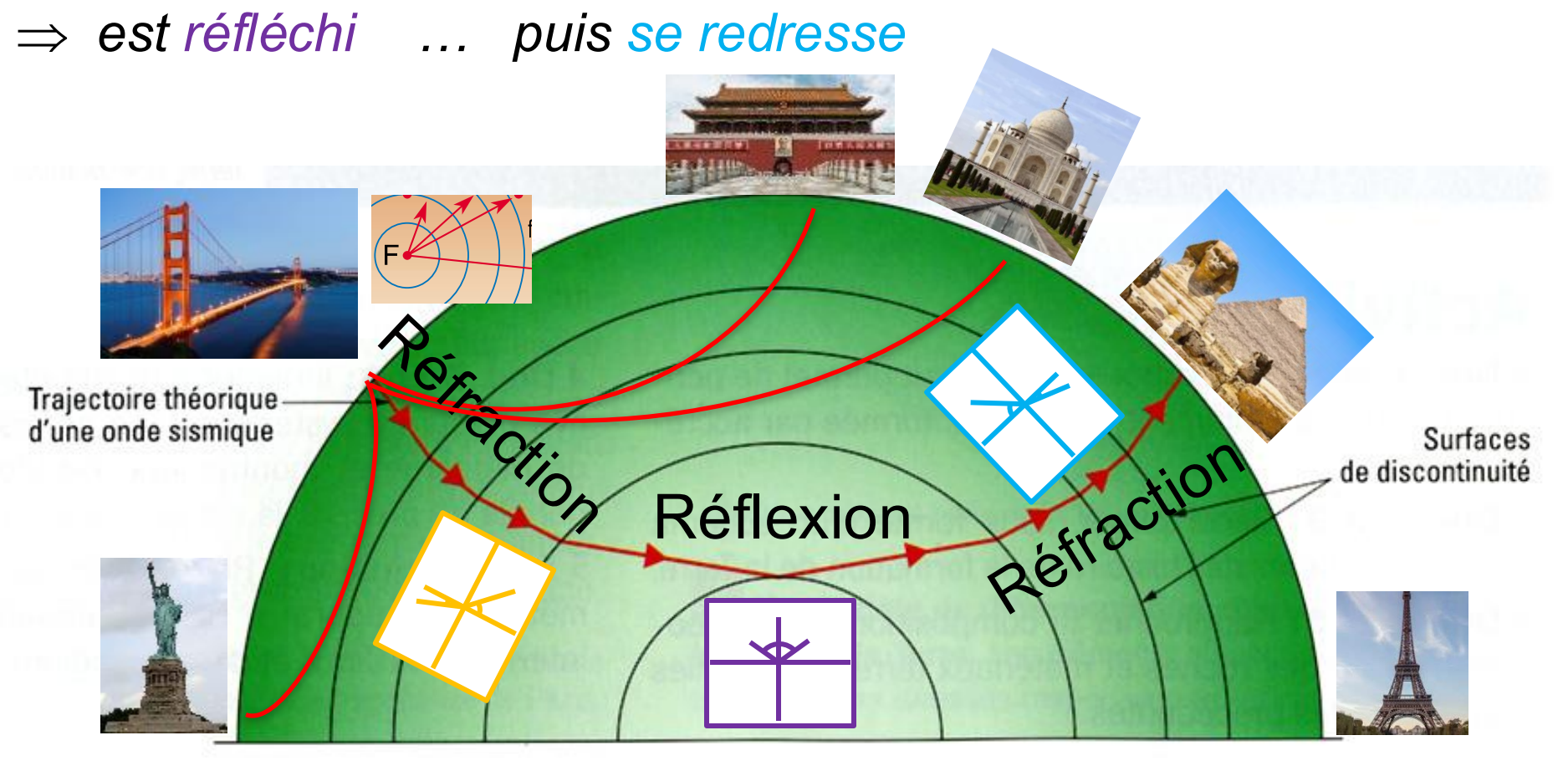
- \Rightarrow si $V_{dessus} < V_{dessous}$ alors $i_{dessus} < i_{dessous}$
- ⇒ le rai sismique se courbe ...
- ⇒ est réfléchi ... puis se redresse



NB : presque partout, i₁ et i₂ sont moins contrastés que sur ces schémas

La propagation des ondes sismiques: trajectoires des rais sismiques La vitesse de propagation des ondes de volume augmente avec la profondeur

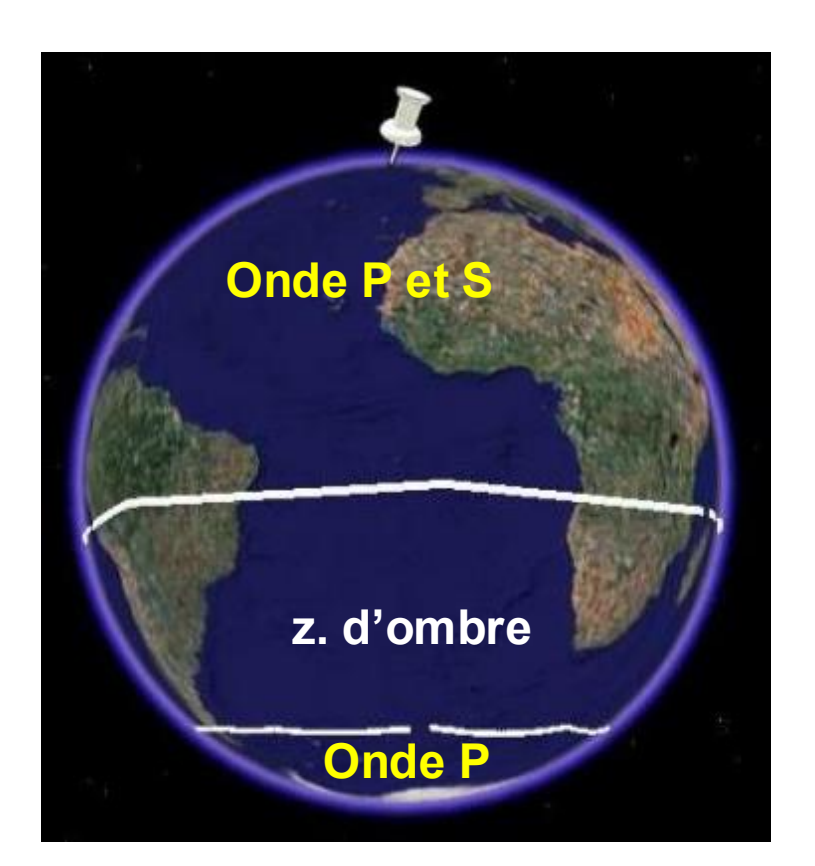
- \Rightarrow si $V_{dessus} < V_{dessous}$ alors $i_{dessus} < i_{dessous}$
- ⇒ le rai sismique se courbe ...



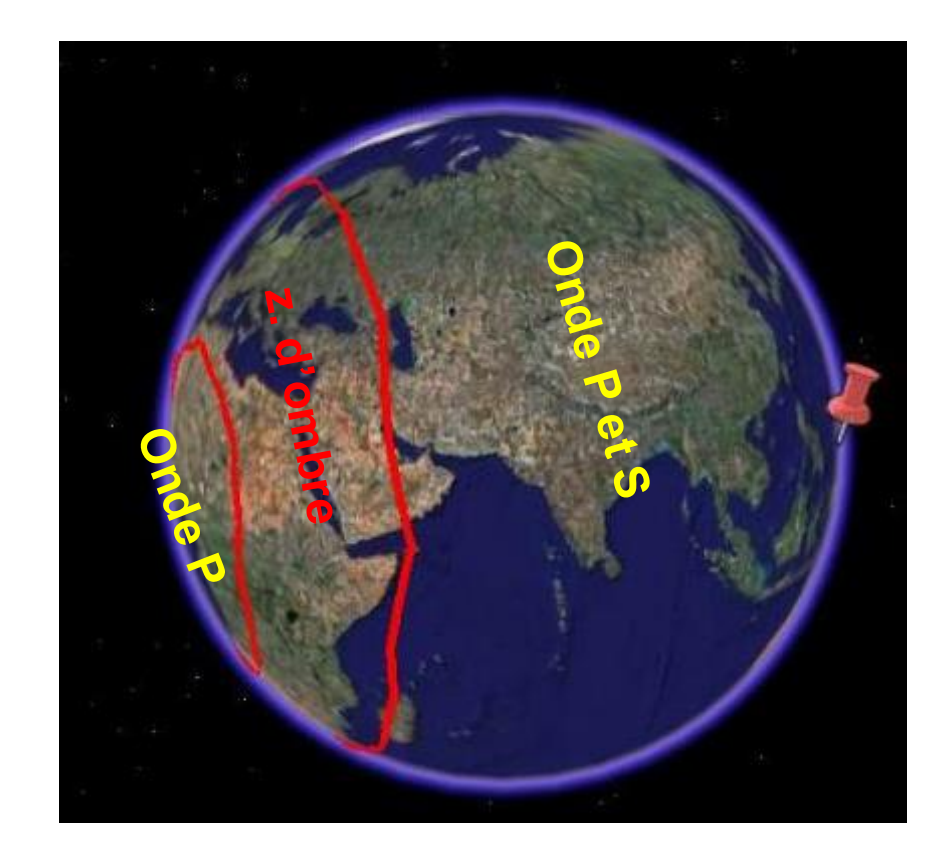
Découverte du noyau

Où que soit l'épicentre d'un séisme, il existe une région du Globe où les instruments peu sensibles ne perçoivent aucune onde: c'est la **zone d'ombre** du séisme

Séisme au Pole Nord

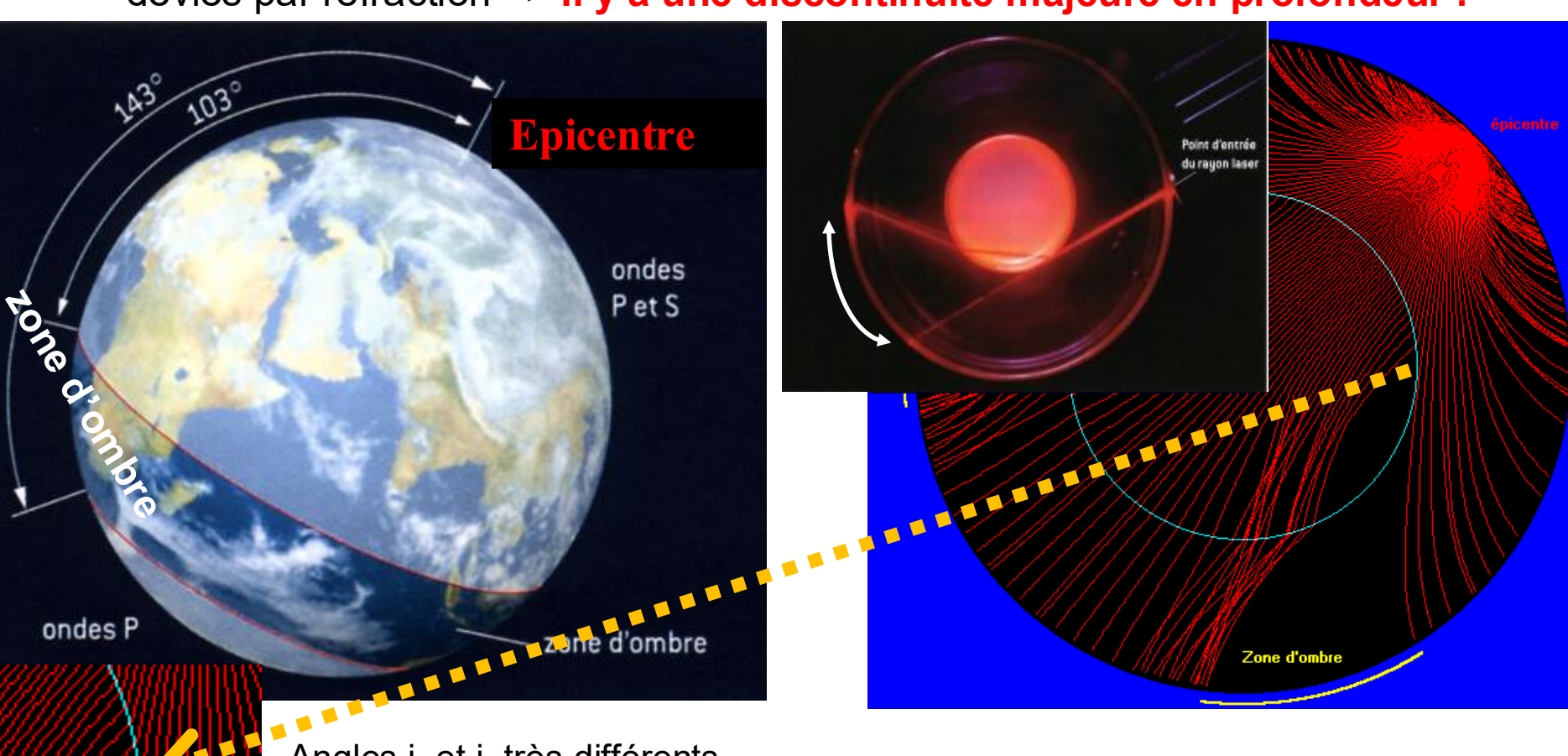


Séisme aux Philippines



Découverte du noyau

La zone d'ombre implique que les rais sismiques sont (quelque part) très fortement déviés par réfraction => II y a une discontinuité majeure en profondeur!



Angles i₁ et i₂ très différents

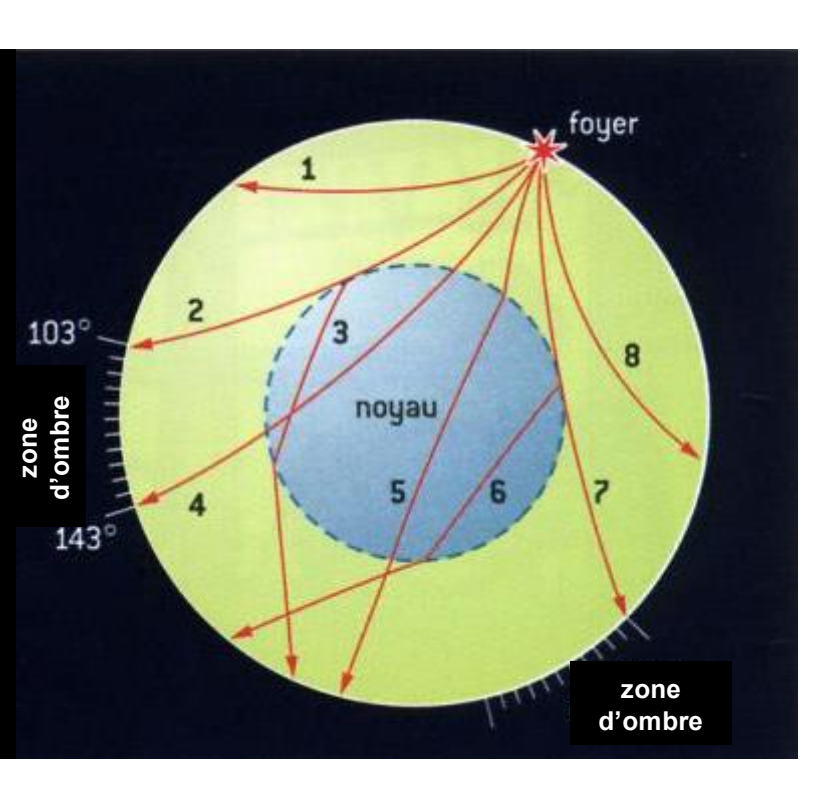
- \Rightarrow Indices n_1 et n_2 très différents
- \Rightarrow Vitesses V_1 et V_2 très différentes
- ⇒ Matériaux M₁ et M₂ très différents



Il existe des milieux de nature très différente en profondeur

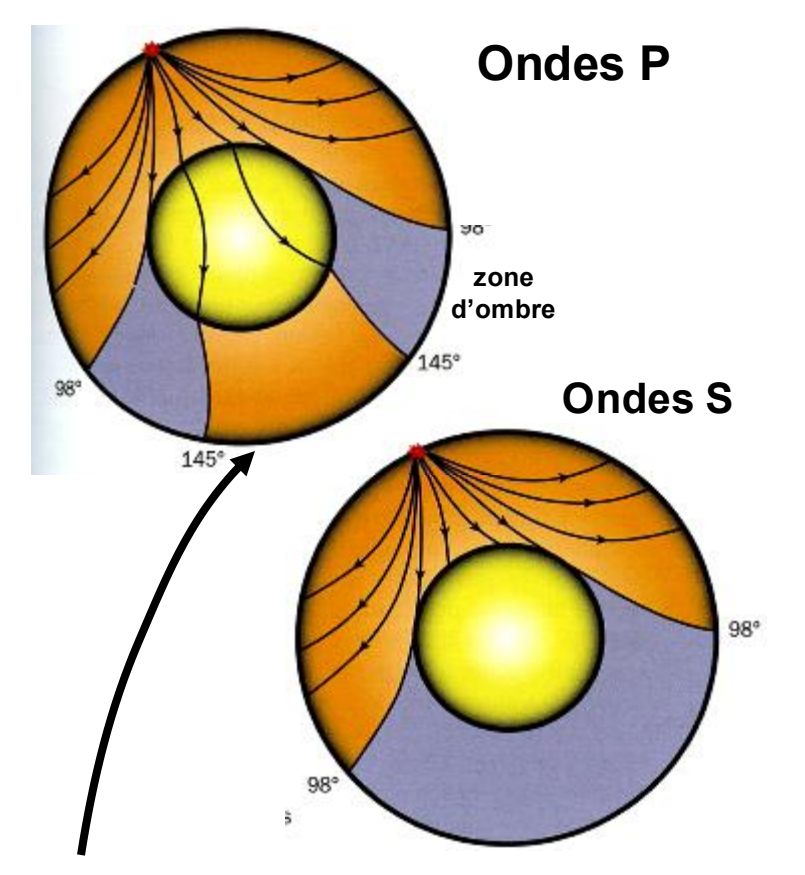
Découverte du noyau

La zone d'ombre démontre la présence d'une discontinuité majeure en profondeur !



à 2900 km de profondeur: c'est le Noyau

(découvert par Gutenberg en 1914)

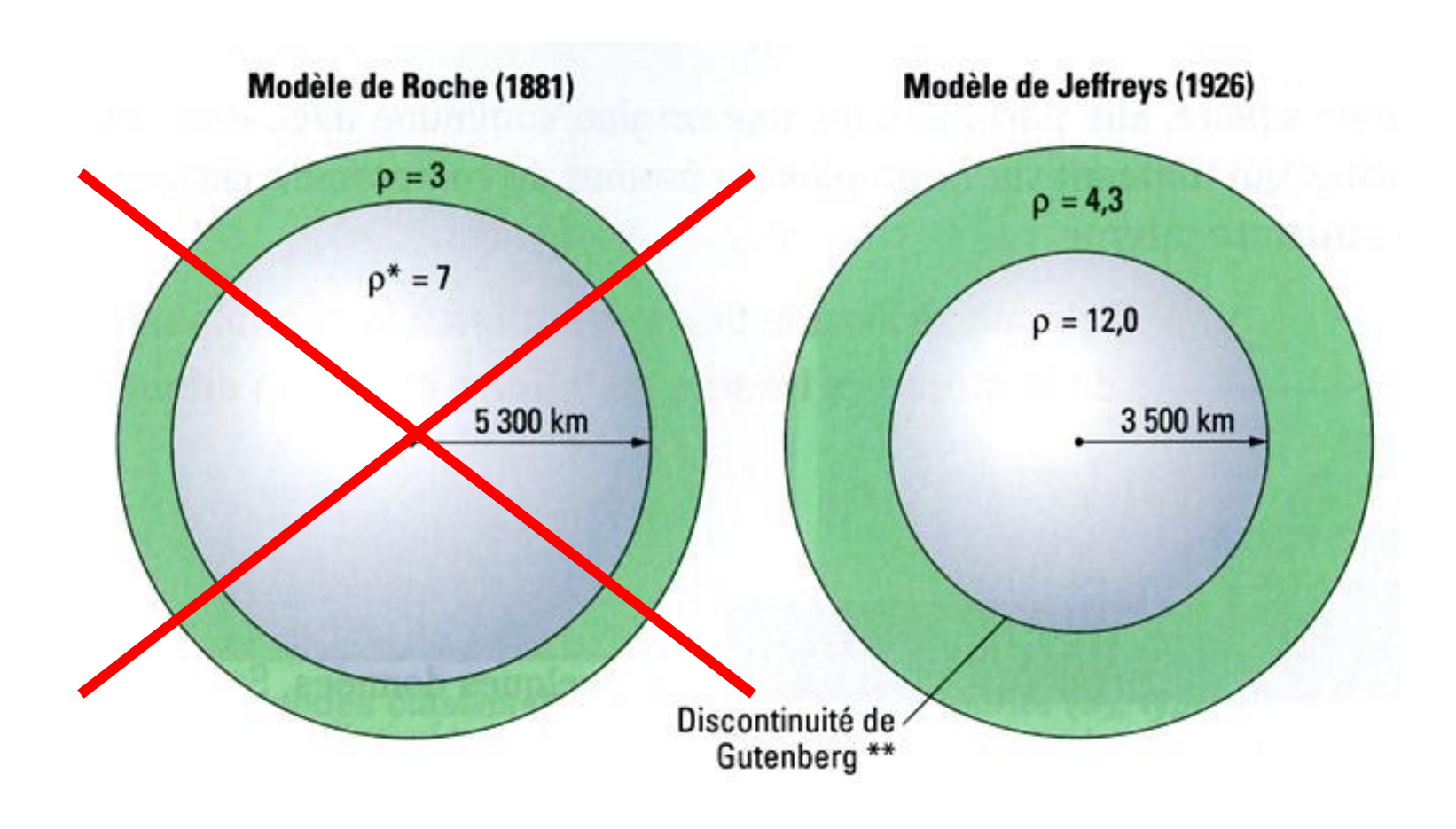


Seules les ondes P sont perçues au-delà de la zone d'ombre :

le noyau est en partie liquide!

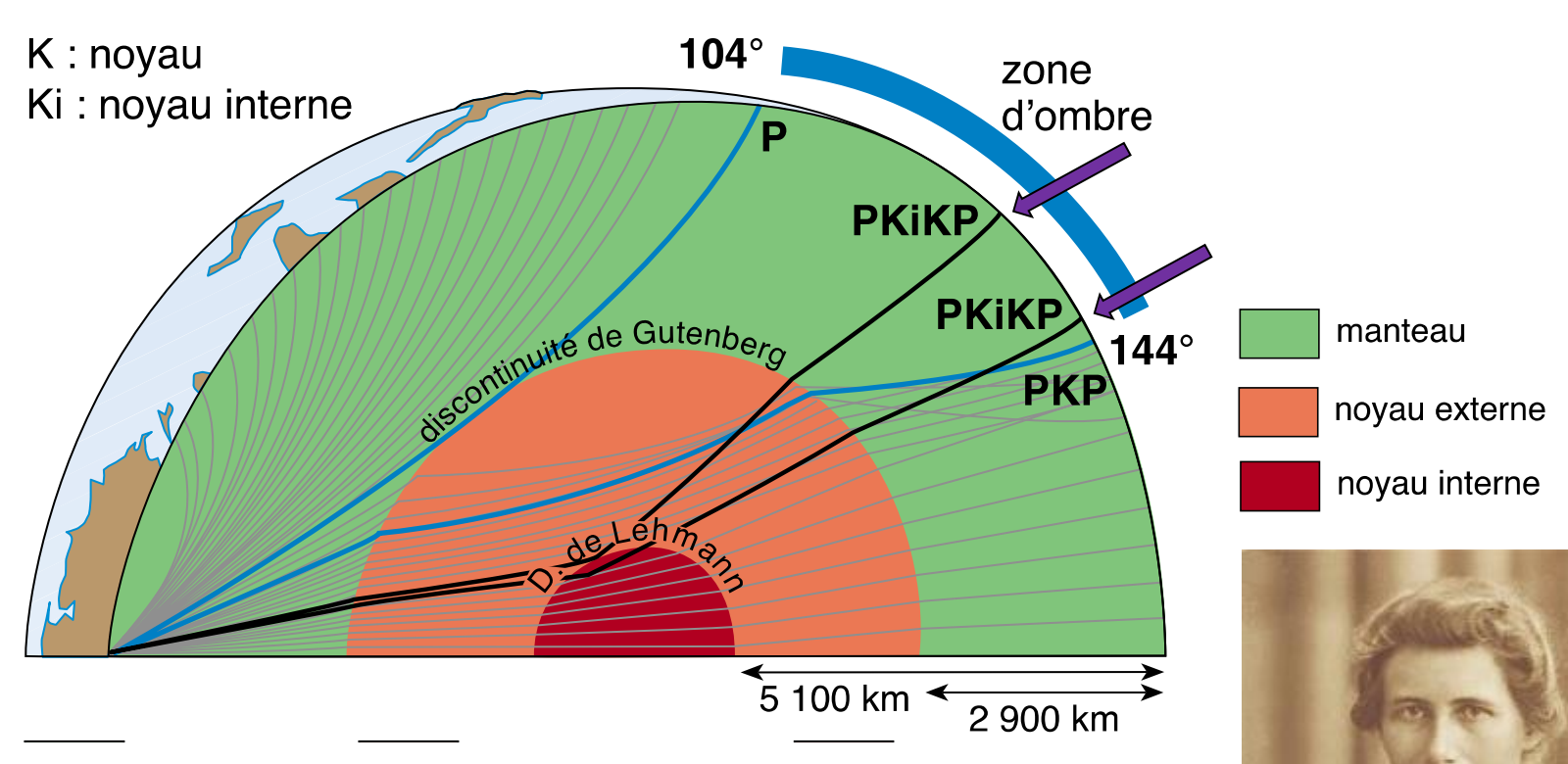
Découverte du noyau

Contrainte apportée par la découverte de la discontinuité de Gutenberg sur la Terre interne



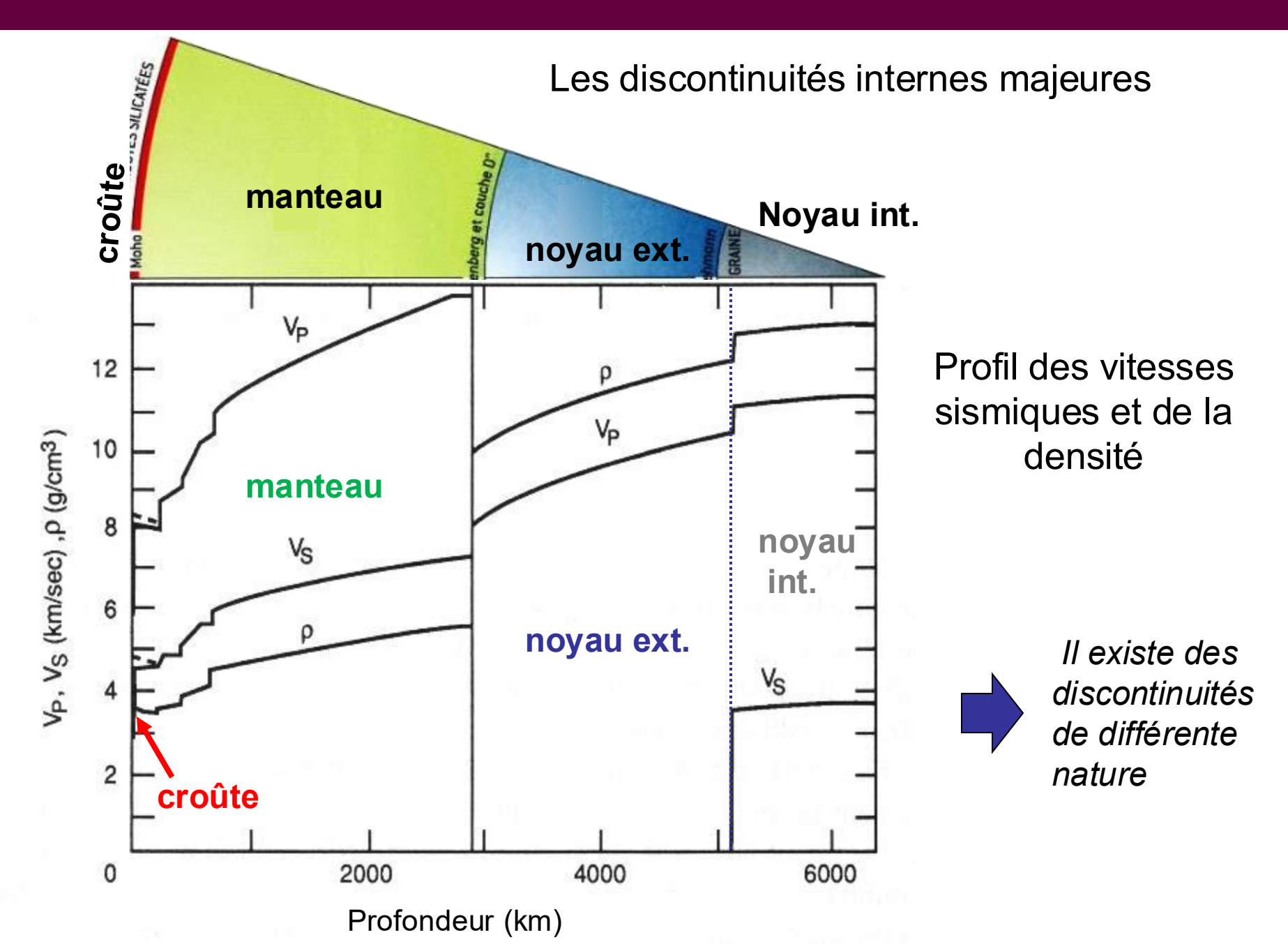
Mais, <u>quelques rares ondes P très atténuées (PKiKP)</u> ont été identifiées dans la zone d'ombre: Il existe une autre discontinuité dans le noyau C'est le noyau interne situé à 5100 km de profondeur

Aucune onde S ne suit ce trajet => le noyau externe est liquide !



La discontinuité de Lehmann à 5100 km sépare le noyau externe du noyau interne (ou graine).

Découverte en 1936 par Inge Lehmann



Les discontinuités internes

Quelle est la nature de ces discontinuités ?

- Limite noyau-manteau à 2900 km
- Discontinuités du manteau
 - ZMV (100 200 km)
 - 400 km
 - $-700 \, \mathrm{km}$
- Moho (6 30 km)

Les discontinuités internes

Birch (1961) mesure v_P sur 250 échantillons de roches naturelles

Il montre que V_P augmente avec :

- la masse volumique (ρ)
- Ia masse atomique moyenne (M)

V_p dans le noyau

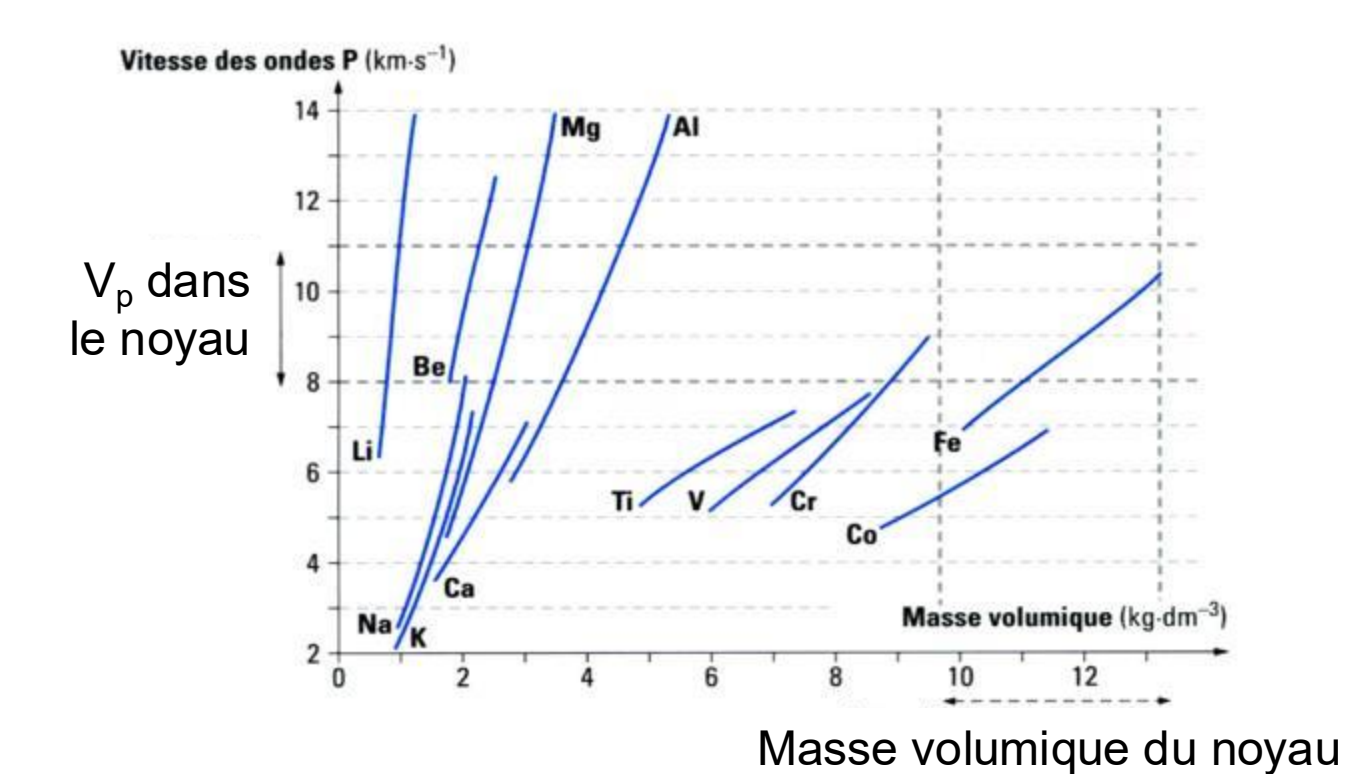
Masse volumique du noyau

Les discontinuités internes

Birch (1961) mesure v_P sur 250 échantillons de roches naturelles

Il montre que V_P augmente avec :

- la masse volumique (ρ)
- la masse atomique moyenne (M)

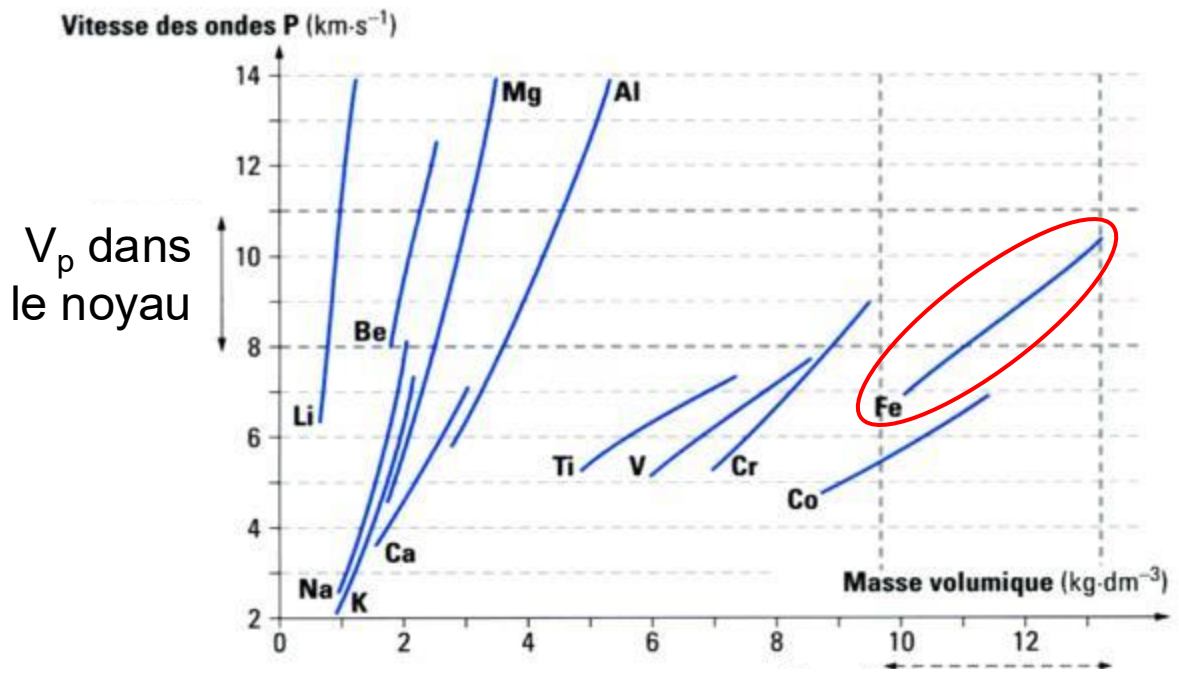


Les discontinuités internes

Birch (1961) mesure v_P sur 250 échantillons de roches naturelles

Il montre que V_P augmente avec :

- la masse volumique (ρ)
- Ia masse atomique moyenne (M)



Masse volumique du noyau

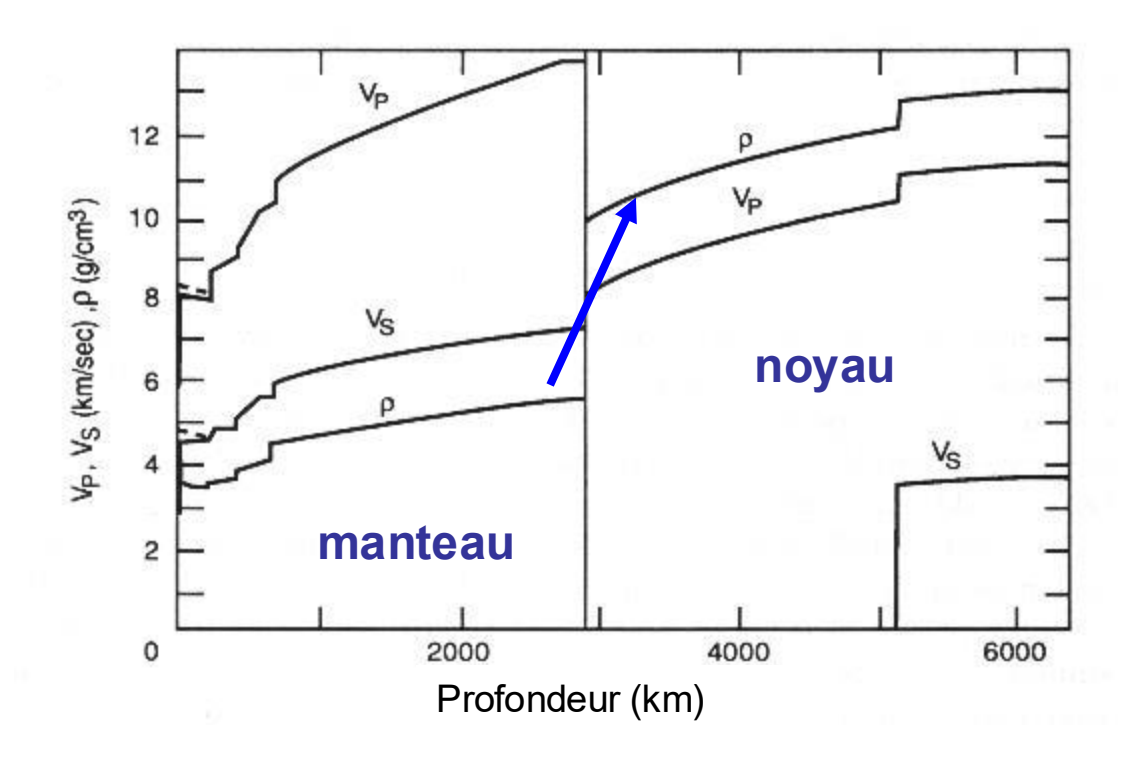
- => le noyau est principalement constitué de fer !
- => le manteau est constitué de silicates (les péridotites)

Composition du noyau 16% du volume, mais 25 % de la masse de la Terre

Il est essentiellement constitué d'un alliage de Fe et Ni.

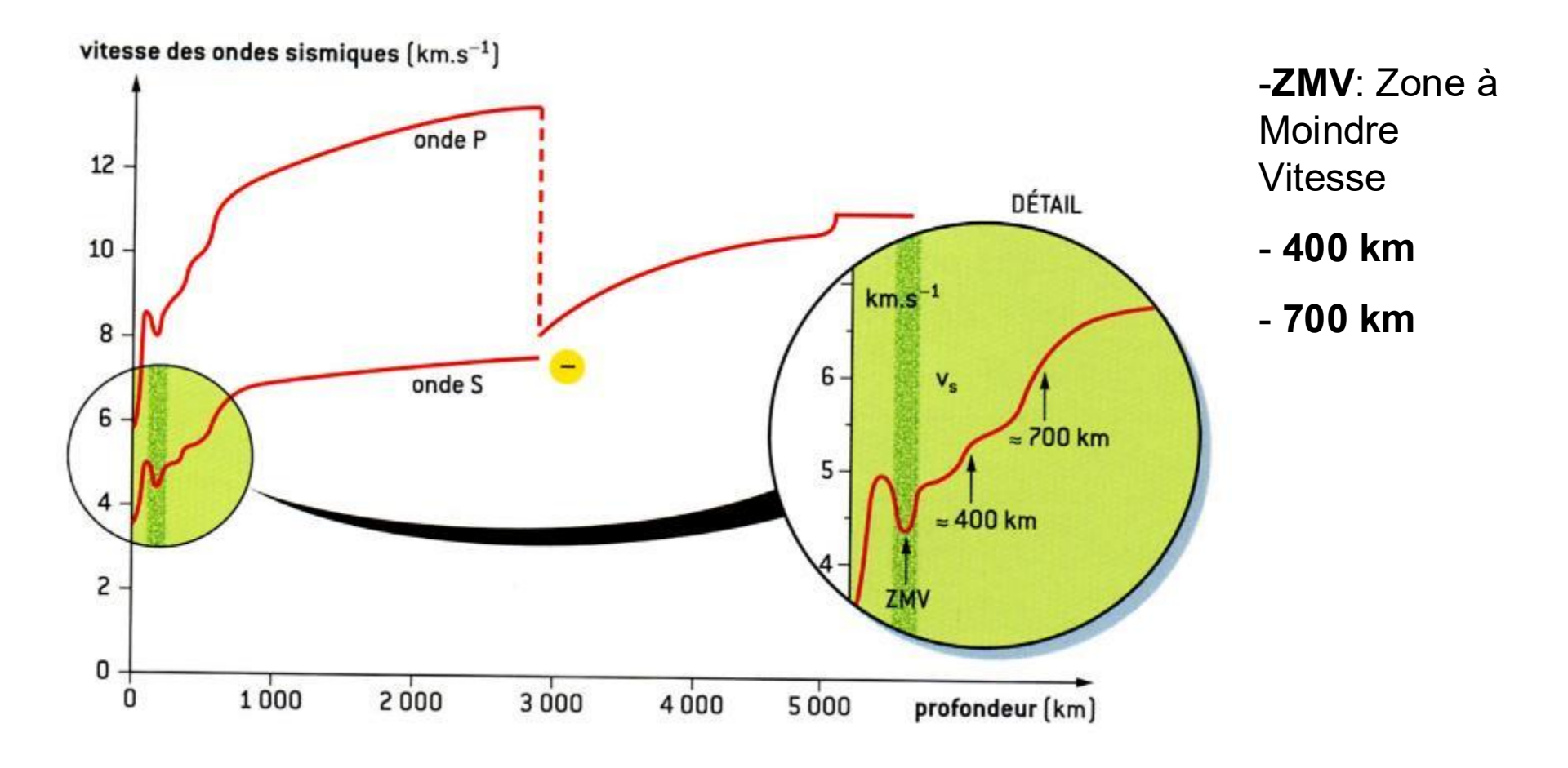
Autres arguments:

- Composition de la Terre superficielle vs. les chondrites
 => déficit de Fe et Ni dans le manteau
- Gravité et moment d'inertie nous montrent que le noyau doit être très dense.



La limite Noyau-Manteau est la discontinuité majeure de la Terre

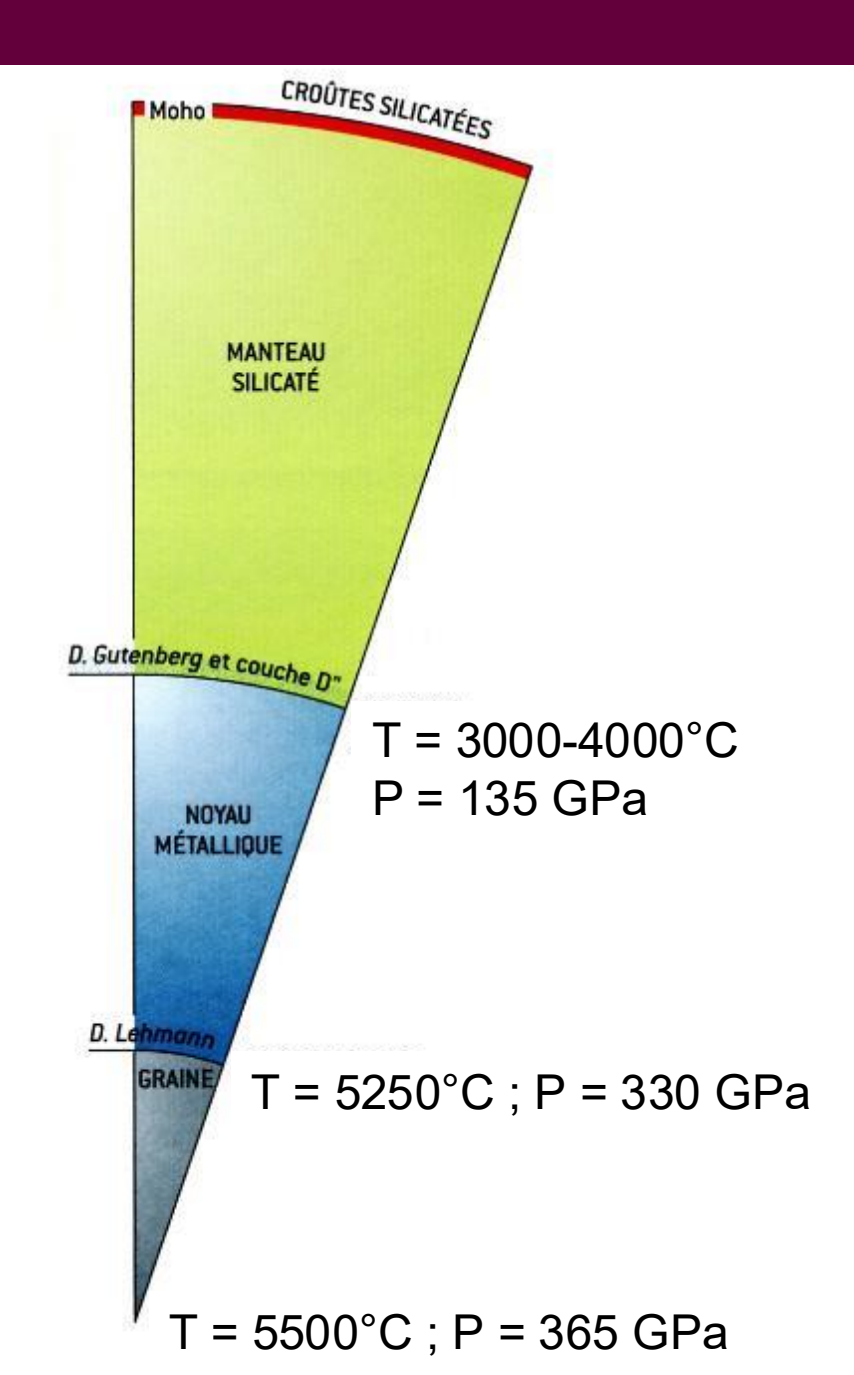
Les discontinuités du manteau

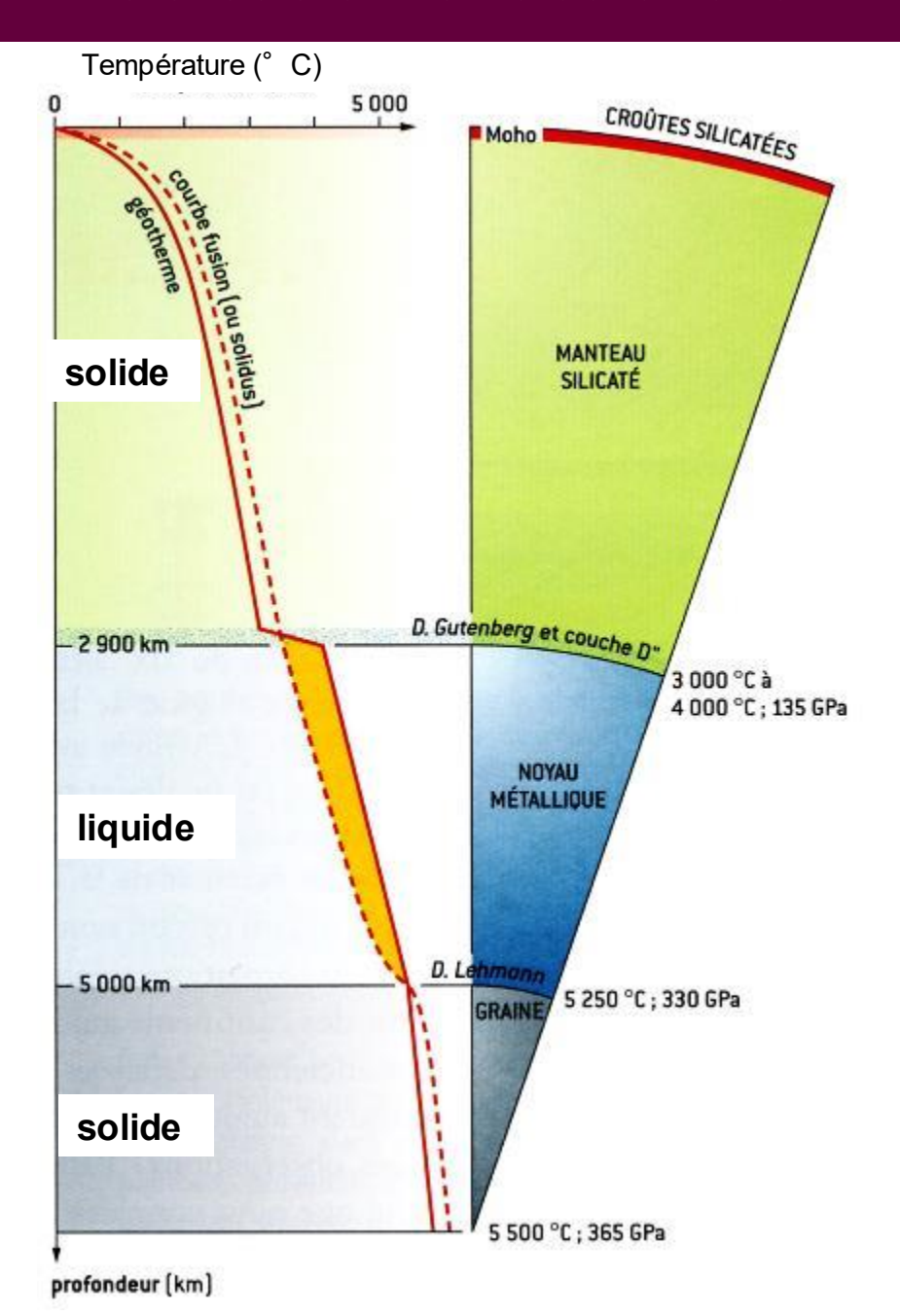


Ce ne sont pas discontinuités chimiques, mais seulement des zones où les propriétés des roches changent.

Variations de la Température et de la Pression avec la profondeur

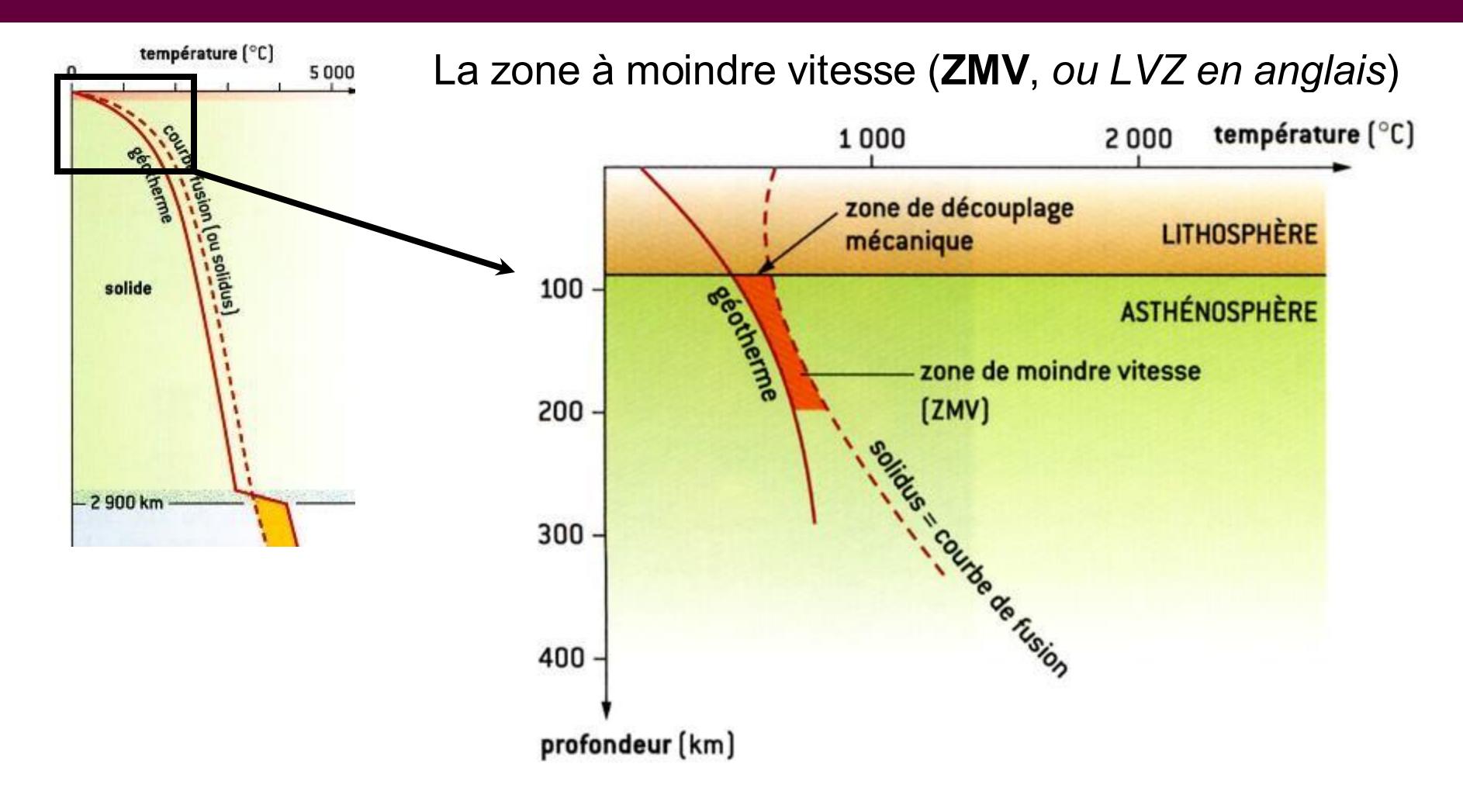
 $1 Pa = 1 N/m^2$





Géotherme: courbe d'évolution de la température en fonction de la profondeur

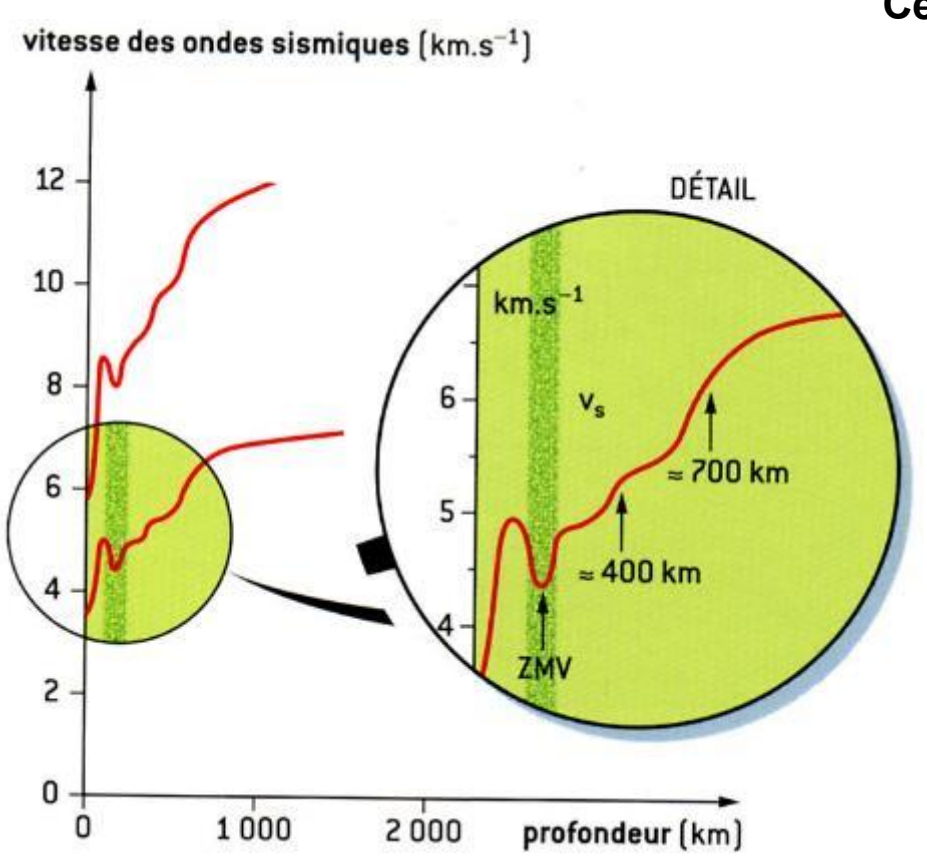
Solidus: courbe d'évolution de la **température de fusion** des matériaux du Globe



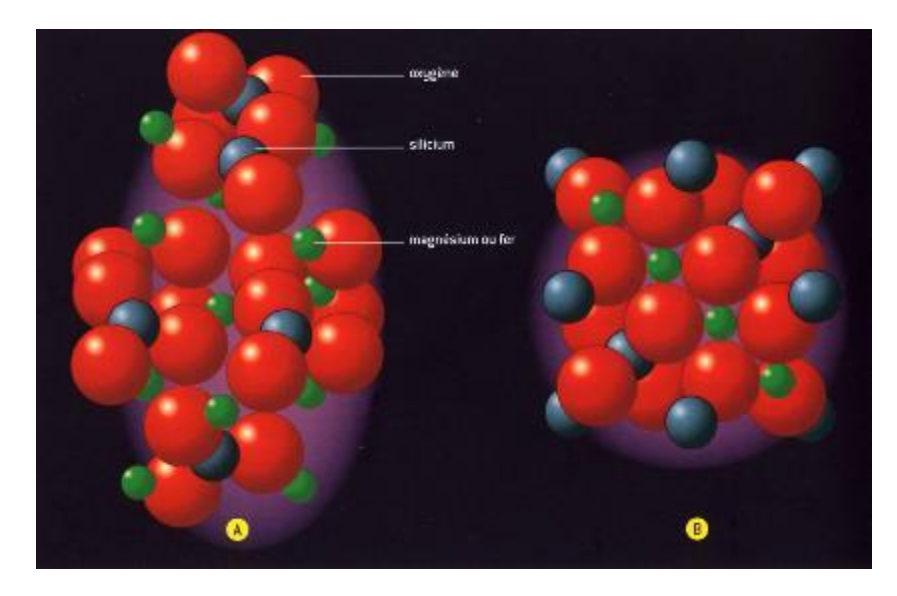
Entre 100 – 200 km : géotherme et solidus proches => les péridotites se « ramollissent »

La **ZMV** est une limite où les propriétés mécaniques de roches sont modifiées : elle sépare la **lithosphère** (rigide, cassante) de l'**asthénosphère** (ductile, plastique).

Les discontinuités du manteau: limites 400 et 700 km



Ce sont des zones de compaction de l'olivine qui acquiert une structure plus compacte: volume diminue => densité augmente



400 km: Olivin

Olivine -> Olivine β

500 km: Olivine β -> Olivine γ

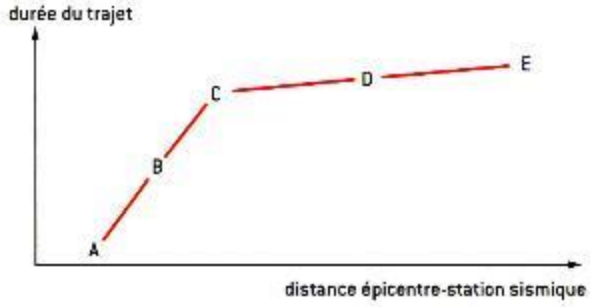
700 km: Olivine γ -> Perovskite

Pas de changement chimique => seule la structure de l'olivine est modifiée

La limite à 700 km marque la limite manteau supérieur-manteau inférieur

La discontinuité de Mohorovicic (ou Moho)





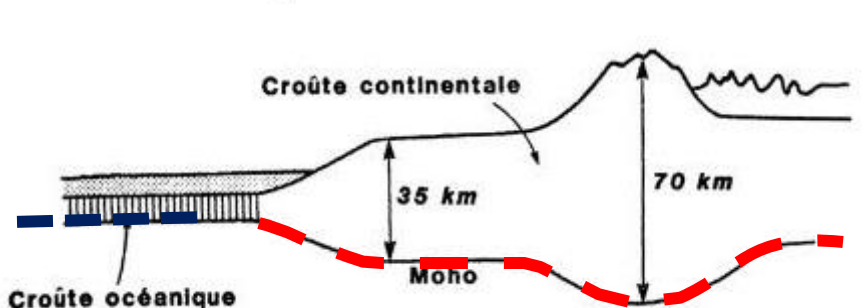
Les ondes sismiques arrivent plus vite que prévu aux stations D et E: elles sont accélérées en passant dans le manteau.

C'est une discontinuité majeure qui sépare deux enveloppes de <u>nature</u> <u>chimique</u> différente : le **manteau supérieur** et la **croûte.**

La discontinuité de Mohorovicic (ou Moho)

- La profondeur du Moho n'est pas constante : donc l'épaisseur de "la" croûte aussi

≈ 5-6 km sous les océans



Continents

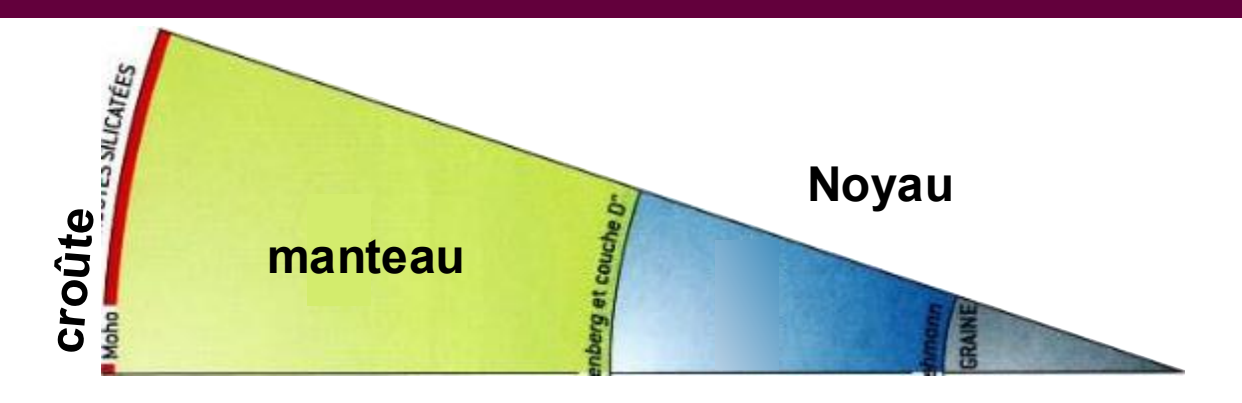
≈ 30 km sous les continents (>80 km sous les Alpes ou l'Himalaya)

- Les vitesses de propagation des ondes sismiques sont différentes sous les océans et les continents



Les croûtes **océaniques** et **continentales** sont de nature différente !

Océan -

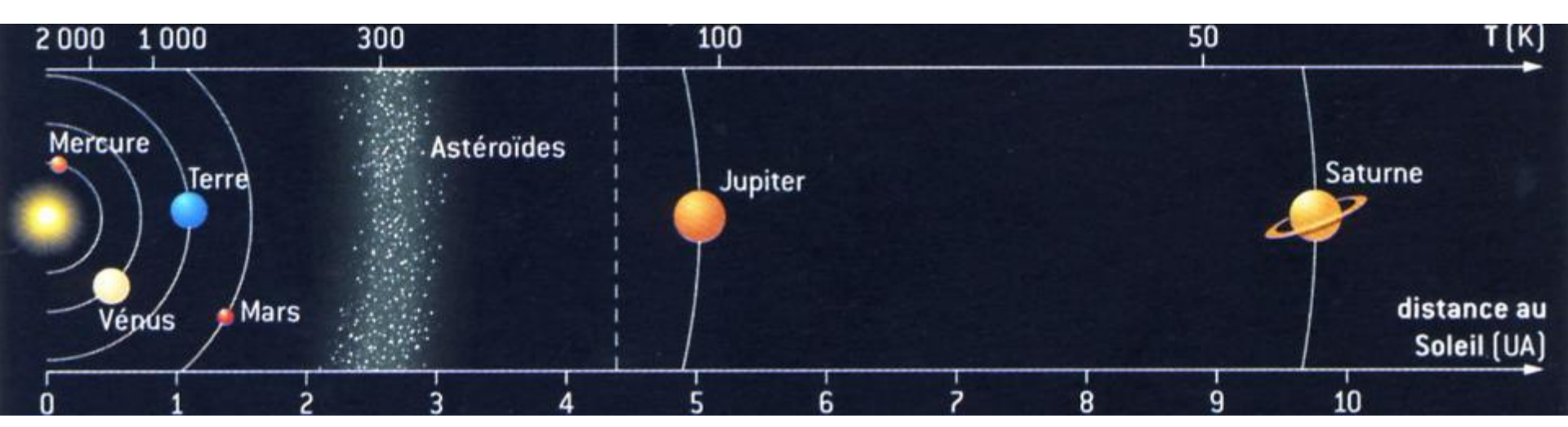


La structure interne de la Terre : vérifiée depuis l'espace !

Les météorites: Les roches qui tombent du ciel

De quels corps parents proviennent-elles?

- 10^{aines} de milliers d'astéroïdes (la plupart depuis la Ceinture d'Ast.)
- Q^{ques} 10^{aines} de météorites d'origine lunaire
- Q^{ques} 10^{aines} de météorites d'origine martienne



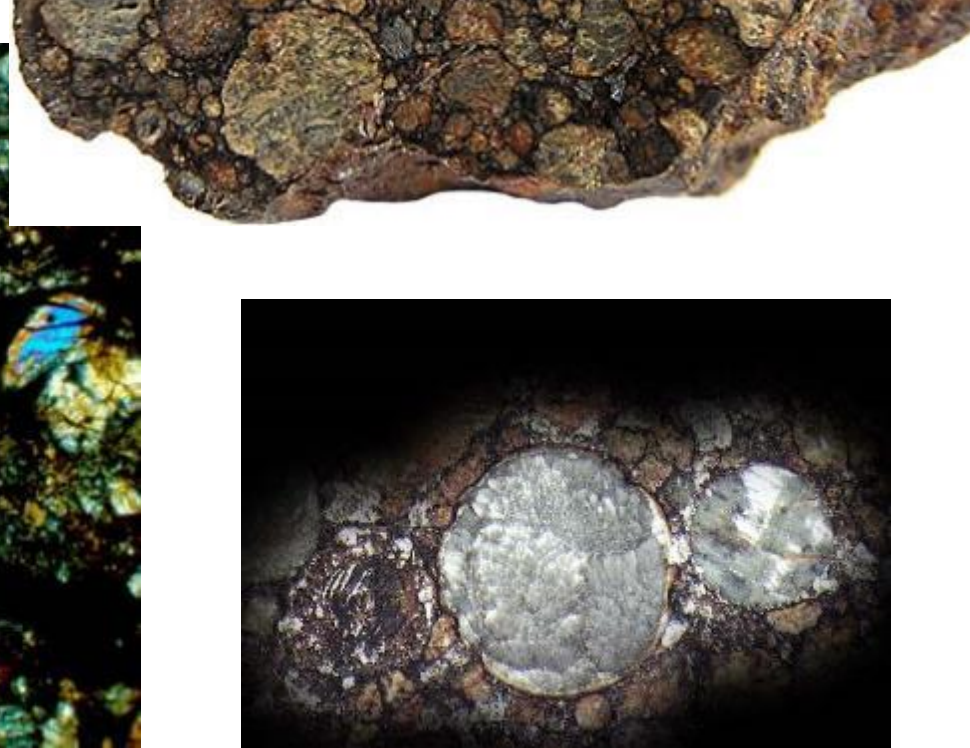
III. La structure interne de la Terre : vérifiée depuis l'espace !

Composition des météorites

A) Les Chondrites (92%)

formées par l'agglomération de sphérules silicatées (les chondres)

Collection ENS Lyon - Photographie : Pierre B

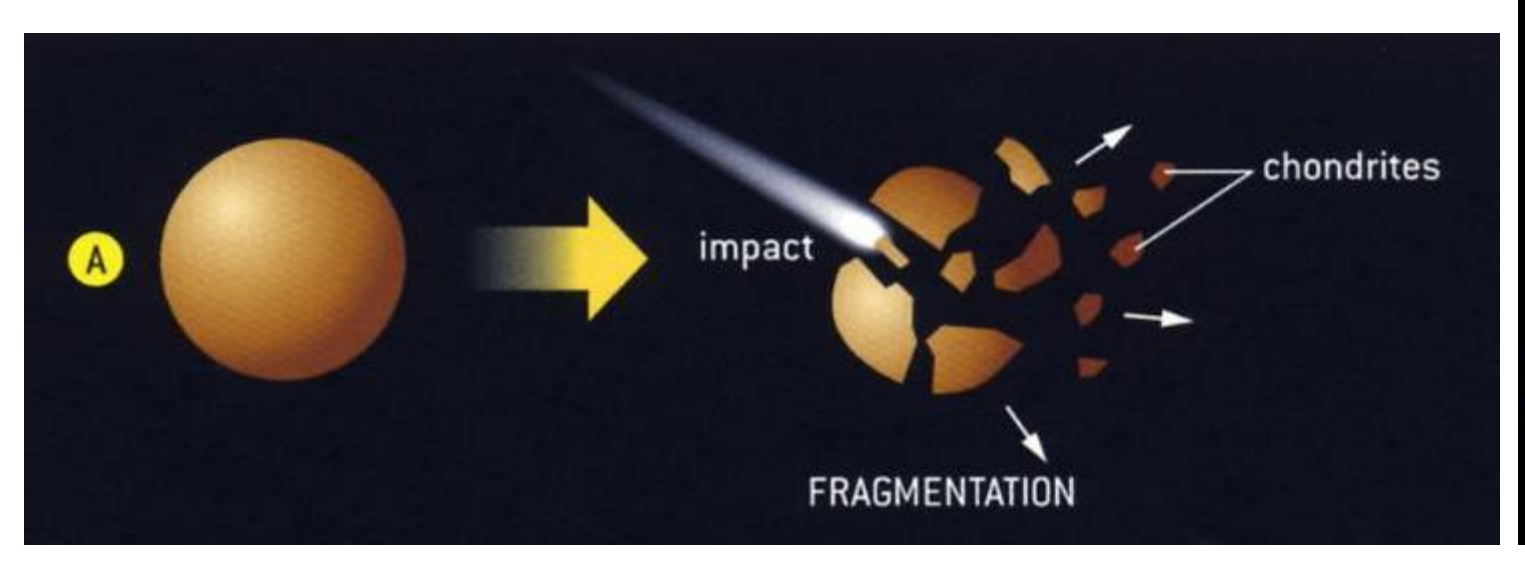


III. La structure interne de la Terre : vérifiée depuis l'espace !

Composition des météorites

A) Les Chondrites (92%)

Fragmentation d'un corps non-différencié





Composition des météorites

B) Les météorites différenciées :

Nature

<u>Aspect</u>

Similitude terrestre

- Sidérites



~ Noyau

- Sidérolites



~ Interface Noyau - Manteau

- Achondrites



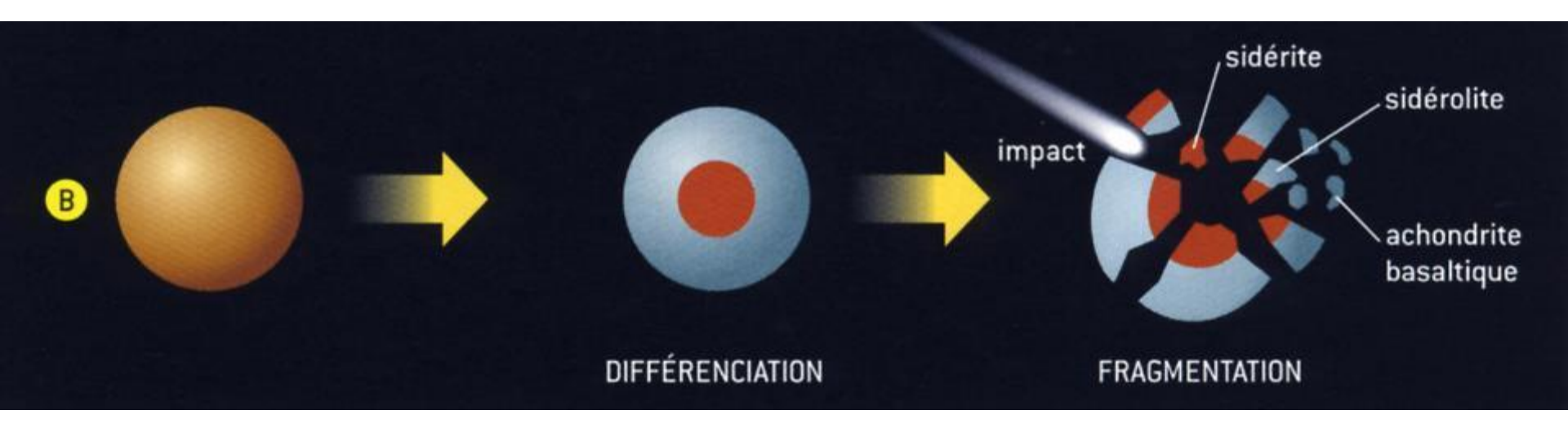
~ Manteau

III. La structure interne de la Terre : vérifiée depuis l'espace !

Composition des météorites

B) Les météorites différenciées :

Hétérogènes => proviennent de la fragmentation d'un corps déjà différencié

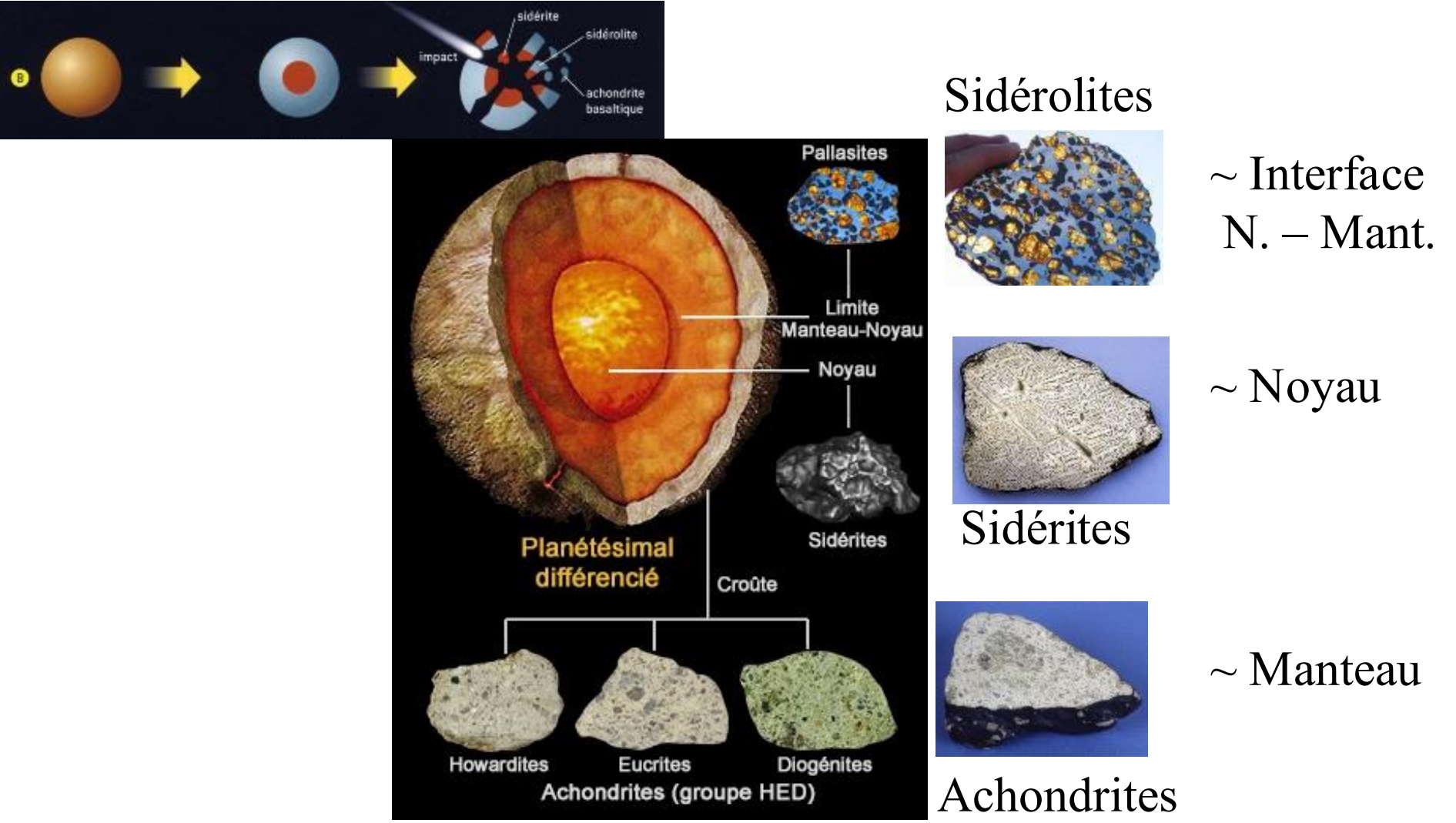


III. La structure interne de la Terre : vérifiée depuis l'espace !

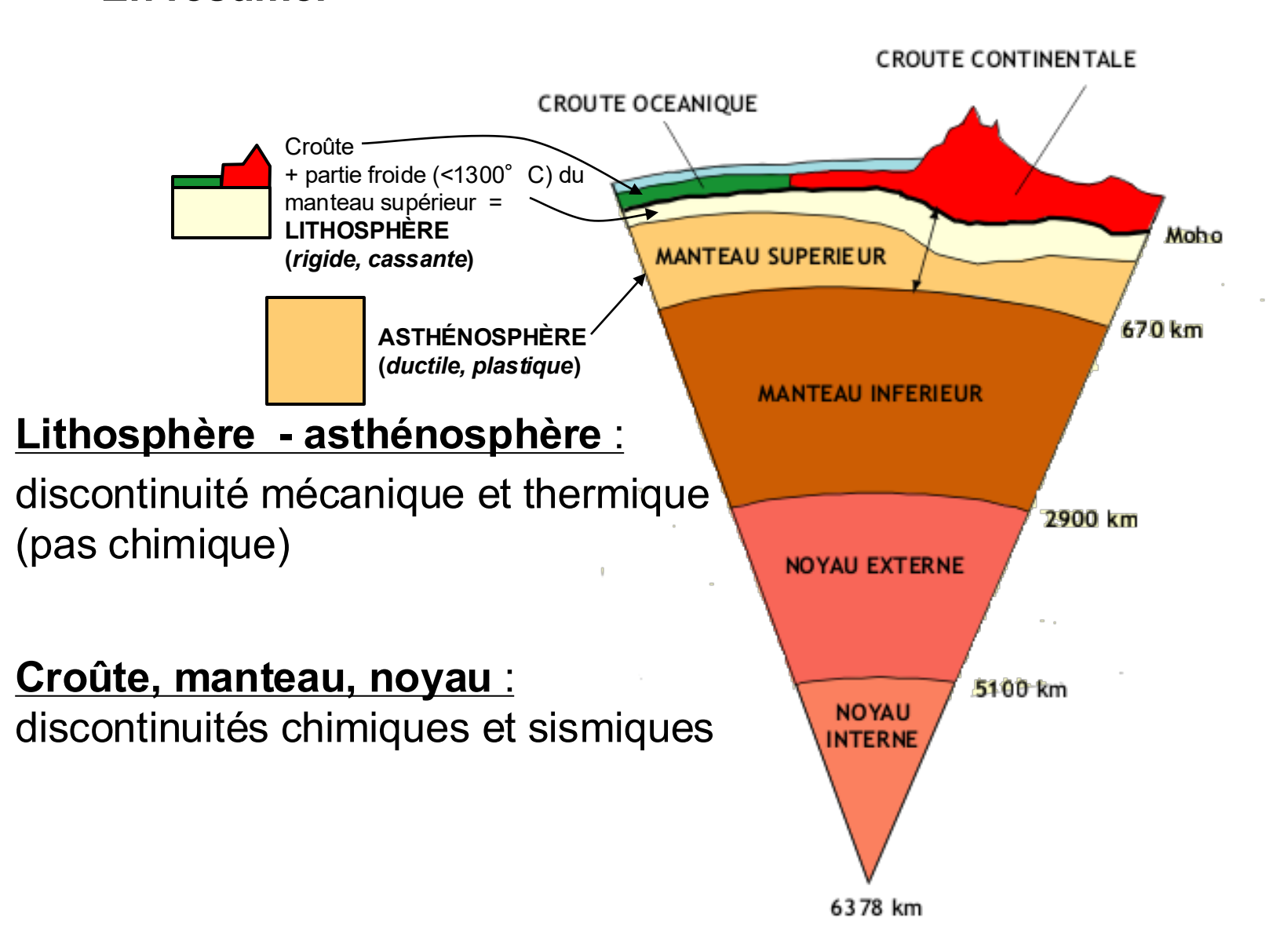
Composition des météorites

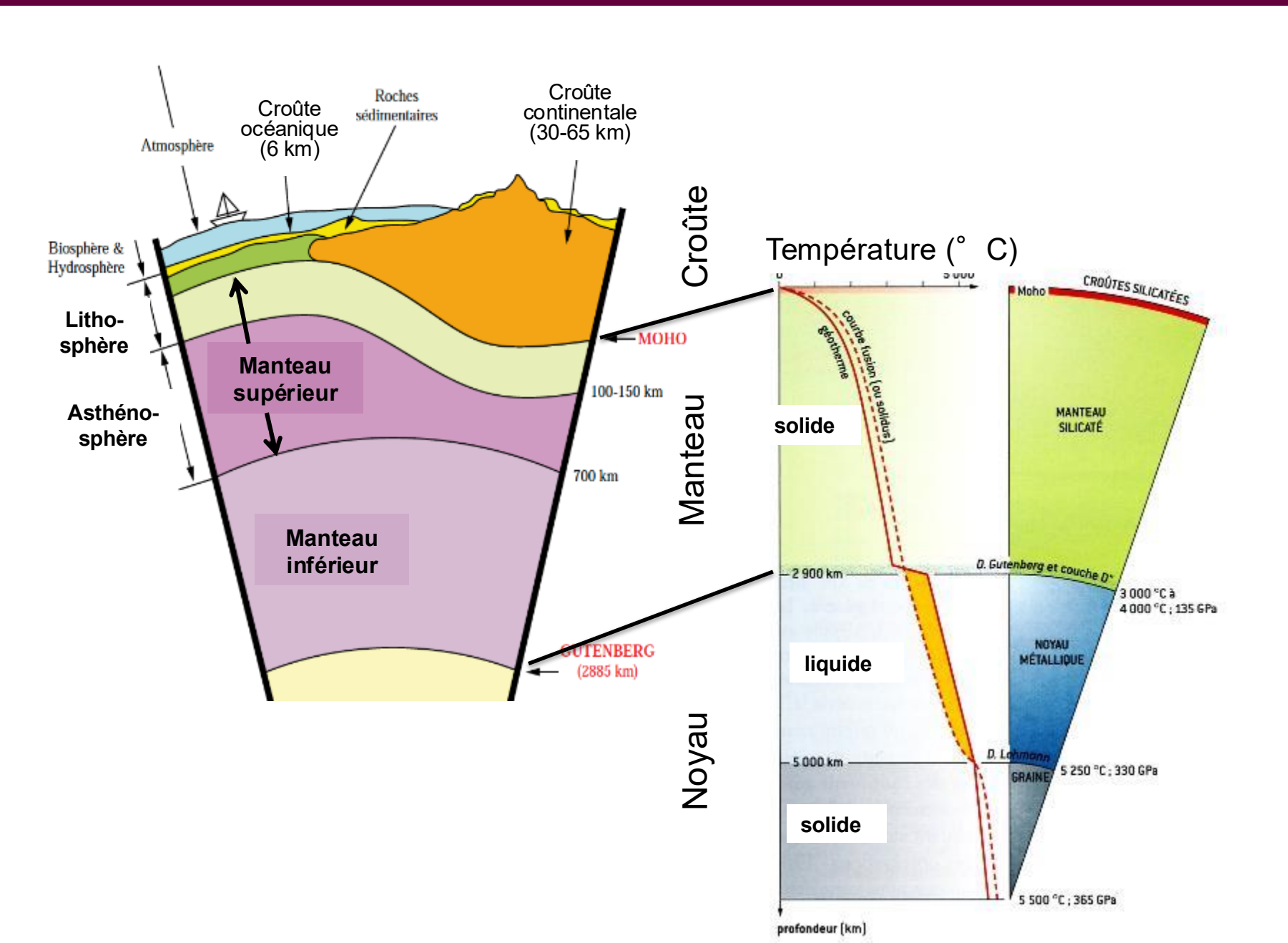
B) Les météorites différenciées :

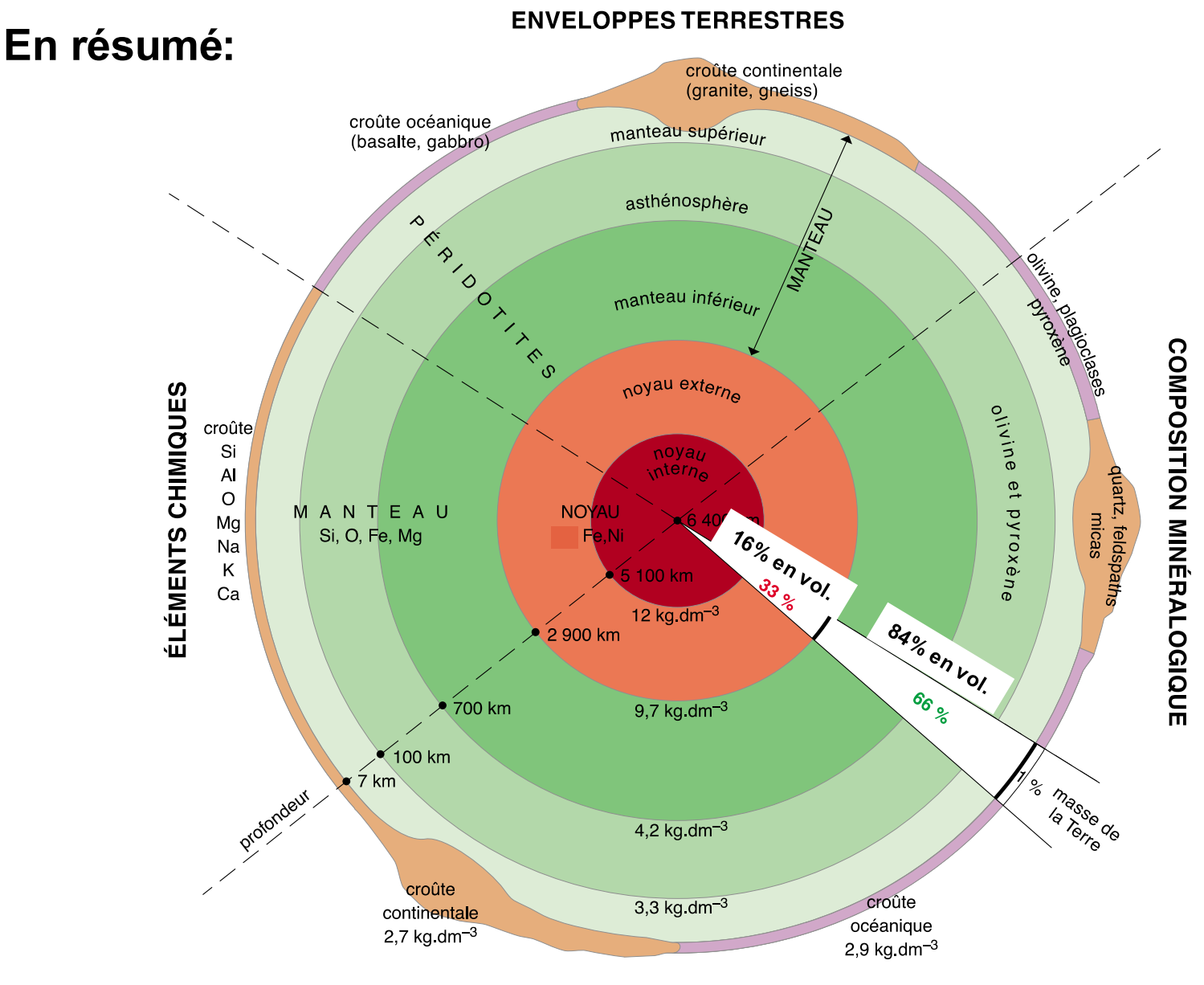
Hétérogènes => proviennent de la fragmentation d'un corps déjà différencié



En résumé:







PROPRIÉTÉS PHYSIQUES

(masse volumique)

Questions:

- Quel est le rayon moyen de la Terre?
- Décrivez les différents types d'ondes sismiques
- Quelles sont les vitesses typiques des ondes
 - Dans la croûte
 - Dans le manteau
- Donnez la densité moyenne de
 - La croûte océanique (prenez 50% basalte, 50% gabbro)
 - La croûte continentale (prenez 50% granite, 50% gabbro)
 - Une péridotite (manteau supérieur)
- Pourquoi la pesanteur change-t-elle entre l'équateur et les pôles?
- Comment l'attraction d'une sphère change-t-elle avec la distance?
- En mettant en relation l'accélération centrifuge de la lune autour de la Terre et l'attraction que la Terre exerce sur la lune, calculez la distance entre la Terre et la lune.
- Comment sait-on que le noyau extérieur doit être liquide?
- Faites un résumé de la structure de la Terre
 - Profondeurs des limites principales
 - Composition des différentes couches
 - Densités, vitesses sismiques